



Mit Beteiligung der Europäischen Union aus dem Haushalt der Transeuropäischen Verkehrsnetze finanziertes Vorhaben

Opera finanziata con la partecipazione dell'Unione Europea attraverso il bilancio delle reti di trasporto transeuropee



Ausbau Eisenbahnachse München-Verona
BRENNER BASISTUNNEL
Ausführungsplanung

Potenziamento asse ferroviario Monaco-Verona
GALLERIA DI BASE DEL BRENNERO
Progettazione esecutiva

D0700: Baulos Mauls 2-3		D0700: Lotto Mules 2-3	
Projekteinheit Fensterstollen Mauls und angrenzende Bauwerke		WBS Finestra di Mules e opere annesse	
Dokumentenart Statische Berechnung		Tipo Documento Calcolo statico	
Titel Statische Berechnung MCV-E-T (Lüftungskaverne, Schacht)		Titolo Relazione di calcolo MCV-E-T (Camerone ventilazione, pozzo)	
 RTI 4P Raggruppamento Temporaneo di Imprese 4P Via Pio IV n° 5, 20125 Milano, Tel. +39 028787911, Fax +39 0287152612		Generalplaner / Responsabile integrazioni prestazioni specialistiche Ing. Enrico Maria Pizzarotti Ord. Ingg. Milano N° A 29470	
Mandataria  PRO ITER Progetto Infrastrutture Territorio s.r.l.	Mandante  PÖYRY	Mandante  pini swiss engineers	Mandante  PASQUALI-RAUSA ENGINEERING S.r.l./G.m.b.H.
Fachplaner / il progettista specialista Ing. Enrico Maria Pizzarotti Ord. Ingg. Milano N° A 29470		Fachplaner / il progettista specialista	
		Datum / Data	
Bearbeitet / Elaborato		30.01.2015	
Geprüft / Verificato		30.01.2015	
		Name / Nome	
		Moja	
		Rivoltini	
		Gesellschaft / Società	
		Pro Iter	
		Pro Iter	
 BBT Galleria di Base del Brennero Brenner Basistunnel BBT SE		Name / Nome R. Zurlo	
		Name / Nome K. Bergmeister	
Projekt-kilometer / Chilometro progetto	von / da 32.0+88 bis / a 54.0+15 bei / al	Projekt-kilometer / Chilometro opera	von / da bis / a bei / al
		Status Dokument / Stato documento	
		-	
Staat Stato	Los Lotto	Einheit Unità	Nummer Numero
02	H61	OP	200
		Dokumentenart Tipo Documento	
		KST	
		Vertrag Contratto	
		D0700	
		Nummer Codice	
		21064	
		Revision Revisione	
		21	

Bearbeitungsstand Stato di elaborazione

Revision Revisione	Änderungen / Modifiche	Verantwortlicher Änderung Responsabile modifica	Datum Data
21	Abgabe für Ausschreibung / Emissione per Appalto	Rivoltini	30.01.2015
20	Überarbeitung infolge Dienstanweisung Nr. 1 vom 17.10.2014 / Revisione a seguito ODS n°1 del 17.10.14	Rivoltini	04.12.2014
11	Projektvervollständigung und Umsetzung der Verbesserungen aus dem Prüfverfahren / Completamento progetto e ricepimento istruttoria	Rivoltini	09.10.2014
10	Endabgabe / Consegna definitiva	Rivoltini	31.07.2014

1	EINFÜHRUNG	
1	INTRODUZIONE	4
2	MATERIALIEN	
2	MATERIALI	5
2.1	BETON	
2.1	CALCESTRUZZO.....	5
2.2	BEWEHRUNGSSTAHL	
2.2	ACCIAIO DA ARMATURA.....	5
3	GEOTECHNISCHES MODELL	
3	MODELLO GEOTECNICO	6
4	INNENSCHALE	
4	RIVESTIMENTO DEFINITIVO	8
4.1	STABWERKSMODELLE	
4.1	METODO DELLE REAZIONI IPERSTATICHE	8
4.2	MODELLIERUNG DER BETTUNG	
4.2	INTERAZIONE TERRENO-STRUTTURA.....	8
4.2.1	Modellierung der Bettung	
4.2.1	Rigidità radiale.....	9
4.2.2	Federkonstanten Auflagerbereich/Sohle	
4.2.2	Costante della molla nelle zone di appoggio / fondo	9
4.3	LASTENANALYSE	
4.3	ANALISI DEI CARICHI.....	10
4.3.1	Eigengewicht G1	
4.3.1	Peso proprio G1	10
4.3.2	Gebirgslast G5	
4.3.2	Carico dell'ammasso G5	10
4.3.3	Kriechen und Schwinden des Betons G6	
4.3.3	Viscosità e ritiro del calcestruzzo G6.....	11
4.3.4	Temperatur Q1	
4.3.4	Temperatura Q1	11
4.3.5	Erdbebeneinwirkung E1	
4.3.5	Azione sismica E1	12
4.3.6	Aufprall A2	
4.3.6	Urto A2	12
4.3.7	Brand A3	
4.3.7	Incendio A3	12
4.4	EINWIRKUNGSKOMBINATIONEN	
4.4	COMBINAZIONI DI CARICO.....	13
4.5	NACHWEISE	
4.5	VERIFICHE	13
4.5.1	Grenzzustand der Tragfähigkeit (GZT)	
4.5.1	Stati Limite Ultimi (SLU)	13
4.5.1.1	Teilsicherheitsfaktoren Einwirkungen	
4.5.1.1	Coefficienti parziali di sicurezza per le azioni	13
4.5.1.2	Kombinationsbeiwerte Einwirkungen	
4.5.1.2	Coefficienti di combinazione delle azioni	14
4.5.1.3	Einwirkungskombinationen	
4.5.1.3	Combinazione delle azioni.....	14

4.5.1.4	Teilsicherheitsfaktoren der Widerstände	
4.5.1.4	Coefficienti parziali di sicurezza per le resistenze	14
4.5.1.5	Überprüfung auf Beulspannung	
4.5.1.5	Verifica a pressoflessione.....	14
4.5.1.6	Querkraftüberprüfung	
4.5.1.6	Verifica a taglio.....	15
4.5.2	Grenzzustände der Gebrauchstauglichkeit (GZG)	
4.5.2	Stati Limite Esercizio (SLE).....	16
4.5.2.1	Teilsicherheitsfaktoren Einwirkungen	
4.5.2.1	Coefficienti parziali di sicurezza delle azioni.....	16
4.5.2.2	Kombinationsbeiwerte Einwirkungen	
4.5.2.2	Coefficienti di combinazione delle azioni	16
4.5.2.3	Einwirkungskombinationen	
4.5.2.3	Combinazioni delle azioni.....	16
4.5.2.4	Teilsicherheitsfaktoren der Widerstände	
4.5.2.4	Coefficienti parziali di sicurezza per le resistenze	16
4.5.2.5	Ermittlung der Verformungen	
4.5.2.5	Calcolo delle deformazioni	16
4.5.2.6	Begrenzung der Rissbreiten	
4.5.2.6	Limitazione dello spessore delle fessure	17
4.6	BAULICHE DURCHBILDUNG	
4.6	STRUTTURA COSTRUTTIVA	17
4.6.1	Bauliche Durchbildung	
4.6.1	Classe di esposizione e copriferro minimo	17
4.6.2	Mindestbewehrung	
4.6.2	Armatatura minima	17
4.7	ERGEBNISSE	
4.7	RISULTATI	18
5	SAUGSCHACHT	
5	POZZO DI ASPIRAZIONE.....	18
6	VERZEICHNISSE	
6	ELENCHI.....	20
6.1	TABELLENVERZEICHNIS	
6.1	ELENCO DELLE TABELLE.....	20
6.2	ABBILDUNGSVERZEICHNIS	
6.2	ELENCO DELLE ILLUSTRAZIONI.....	20
6.3	ANLAGENVERZEICHNIS	
6.3	ELENCO APPENDICI	20
6.4	REFERENZDOKUMENTE	
6.4	DOCUMENTI DI RIFERIMENTO.....	20
6.4.1	Eingangsdokumente	
6.4.1	Documenti in ingresso	20
6.4.2	Normen und Richtlinien	
6.4.2	Normativa e Linee Guida.....	21
6.4.3	Bibliografie	
6.4.3	Bibliografia.....	21
ANHANG 1 - FEM-ANALYSE DER INNENSCHALE		
APPENDICE 1 - ANALISI FEM DEL RIVESTIMENTO DEFINITIVO		
		23

1 EINFÜHRUNG

Der vorliegende Bericht beinhaltet die Bemessung der Innenschale des Lüftungskaverne des Muls Fensterstollens, zwischen Kilometrierungen km 0+085 und km 1+152 des Lüftungstunnels, mit Ausbruchquerschnittreduzierung vorgetriebenen.

Unter den obengenannten Kilometrierungen ist der Innenschalenausbruchquerschnitte MCV-E-T vorgesehen.

Die behandelte Strecke betrifft ein einziges Gebirge, im Profil [3] als GB-G-D-18h bezeichnet, mit Überdeckung von ca. 60 m.

Die Ausbruchquerschnitte MCV-T1, MCV-T2 haben eine maximale Breite und Höhe von jeweils ca. 20,4 m und 19,4 m.

Die Innenschale besteht aus Ortbeton der Festigkeitsklasse C30/37 mit einer Stärke von 76 cm an der Kappe, und von ein Minimum von 76 bis ein Maximum von 130 cm an den Widerlagern. Der Bogen wird von einem Gegengewölbe mit variabler Stärke von 87 cm bis 160 cm abgeschlossen. Diese nominalen Stärken sind ohne Bau- und Trassierungstoleranzen um 5 cm reduziert.

In diesem Dokument ist die Bemessung der Innenschale aufgezeigt.

Es ist außerdem die Realisierung eines Rauchabzugsschachts, mit einem Durchmesser von 5,7 m in unmittelbarer Nähe des Kavernenendes, an Kilometrierung km 0+152, vorgesehen. Dieser Schacht wird zur Belüftung der sich in der Kaverne befindenden Anlagen genutzt.

1 INTRODUZIONE

La seguente relazione riporta il dimensionamento del rivestimento definitivo del Camerone di Ventilazione della Finestra di Mules, scavata in tradizionale a sezione parzializzata, tra le progressive km 0+085 e km 1+152 della galleria di collegamento.

Tra le sopracitate progressive è prevista la sezione tipo di rivestimento definitivo: MCV-E-T.

La tratta considerata interessa un unico ammasso, indicato nel profilo [3] come GB-G-D-18h, con copertura di circa 60 m.

Le sezioni di scavo MCV-T1, MCV-T2 presentano una larghezza e un'altezza massima rispettivamente di 20,4 m e 19,4 m circa.

Il rivestimento definitivo è costituito da calcestruzzo C30/37 gettato in opera con spessore di 76 cm in calotta e da un minimo di 76 cm a un massimo di 130 cm nei ritti. L'arco è chiuso da una soletta di spessore variabile tra un minimo di 87 cm e un massimo di 160 cm. Tali spessori nominali al netto delle tolleranze di costruzione e di tracciamento, si riducono di 5 cm.

Nel presente documento è riportato il dimensionamento del rivestimento definitivo.

Si è inoltre prevista la realizzazione di un pozzo di estrazione fumi, di diametro 5,7 m, in prossimità della fine del camerone, progressiva km 0+152. Tale pozzo viene utilizzato a scopi di ventilazione dagli impianti allocati nella caverna.

2 MATERIALIEN

2.1 BETON

Für die Bemessung der Innenschale wird ein Beton der Festigkeitsklasse C30/37 mit folgenden Eigenschaften berücksichtigt:

$$E_{cm} = 32000 \text{ MPa}$$

$$f_{ck} = 30.71 \text{ MPa}$$

Wobei:

- E_{cm} = Mittelwert Elastizitätsmodul
- f_{ck} = charakteristische Druckfestigkeit des Betons nach 28 Tagen

2.2 BEWEHRUNGSSTAHL

Für die Bemessung der Außenschale ist Stahl des Typs B450C heranzuziehen:

$$E_s = 210000 \text{ MPa}$$

$$f_{yk} = 450 \text{ MN/m}^2$$

wobei:

- E_s = Elastizitätsmodul
- f_{yk} = charakteristischer Wert der Streckgrenze des Stahlbetons

2 MATERIALI

2.1 CALCESTRUZZO

Per il dimensionamento del rivestimento definitivo si considera un calcestruzzo con classe di resistenza C30/37 con le seguenti caratteristiche:

Dove:

- E_{cm} è il valore medio del modulo elastico
- f_{ck} è la resistenza a compressione caratteristica del calcestruzzo dopo 28 giorni

2.2 ACCIAIO DA ARMATURA

Per il dimensionamento dell'anello si utilizza l'acciaio tipo B450C:

dove:

- E_s è il modulo elastico
- f_{yk} è la tensione caratteristica di snervamento acciaio per cemento armato

3 GEOTECHNISCHES MODELL

Zur geomechanischen Charakterisierung sowohl der vom Mauls Fensterstollen durchquerten Gebirgen, zwischen Kilometrierung km 0 und Kilometrierung km 1+607 des Mauls Fensterstollens, als auch für die von den Strecken A und B durchquerten Gebirgen, wird auf das geomechanische Profil [3] Bezug genommen.

Aufgrund der fehlenden As-built Daten ist die Charakterisierung aus den Planungsdokumenten des Mauls Fensterstollens (Ausführungsplanung Oktober 2006) entnommen worden, mit Annahme einer einzigen homogene geomechanische Zone für die gesamte Strecke. Auf dieser Weise wurde die Äußerung von Bericht [4] der Ausführungsplanung des Baulos Mauls I berücksichtigt, wo deutlich zum Ausdruck gebracht wird, dass keine kartographierbaren und darstellbaren Verwerfungen im geologischen Ausbruchquerschnitt beobachtet wurden.

Es wurde das Vorkommen von kleinen Verwerfungen festgestellt, mit einem Abstand im Dekameterbereich, welche sich aus einem Kernbereich mit Verwerfungsgesteine (tektonische Brekzien) mit einer Mächtigkeit bis in den Dezimeterbereich und einer an den beiden Enden der Verwerfung bis zu mehreren Metern mächtigen damage zone zusammensetzen. Diese kleinen Verwerfungen scheinen den Zerklüftungsgrad entscheidend zu beeinflussen, insgesamt jedoch in bescheidenem Ausmaß, da auf dieser Strecke die Klüfte mit einer den Verwerfungen ähnlichen Verlaufsrichtung überwiegen. Zusammenfassend kann demnach behauptet werden, dass die im Zuge des Vortriebs des Mauls Fensterstollens gewonnenen Erkenntnisse die ausgezeichneten mechanischen Eigenschaften des Gebirges bestätigt haben.

Folgende Tabelle berichtet die geomechanischen Grundparameter welche die geomechanisch homogene Zone bestimmen.

3 MODELLO GEOTECNICO

Per la caratterizzazione geomeccanica degli ammassi rocciosi attraversati dalla Finestra di Mules tra la progressiva km 0 e la progressiva km 1+607 della Finestra di Mules, così come per gli ammassi rocciosi attraversati dai rami A e B e dalla galleria di collegamento al Camerone di Ventilazione della Finestra di Mules, si fa riferimento al profilo geomeccanico [3].

In assenza di dati di as-built la caratterizzazione è stata ricavata dai documenti progettuali della Finestra di Mules (Progetto Esecutivo Ottobre 2006), assumendo per l'intera tratta la presenza di un'unica zona geomeccanicamente omogenea; in questo modo si è tenuto conto di quanto espresso nella relazione [4] del Progetto Esecutivo del Lotto Mules 1, in cui si esplicita che non sono state osservate faglie cartografabili e rappresentabili sulla sezione geologica.

È stata riscontrata la presenza di piccole faglie, con spaziatura di ordine decametrico, costituite da una zona di nucleo con rocce di faglia (brecce tettoniche) di spessore fino a decimetrico e da una zona di danneggiamento potente fino a un paio di metri per ogni lato della faglia. Sembra che la presenza di tali piccole faglie condizioni in maniera marcata lo stato di fratturazione, nel complesso comunque molto modesto, poiché in questo tratto dominano i giunti con direzione simile alle faglie. In conclusione comunque le informazioni ricavate dallo scavo della Finestra di Mules hanno confermato le ottime caratteristiche meccaniche dell'ammasso roccioso

La seguente tabella riporta i parametri di base che caratterizzano la zona geomeccanicamente omogenea.

Rock mass name	GB-G-D-18h
γ [kN/m ³]	26.5
σ_{ci} [MPa]	74
m_i	24
E_i [GPa]	20
CAI[-]	4.8
RMR	60-80
GSI	55-75

Tabelle 1: Charakterisierung des Gebirges
Wobei:

- γ = spezifisches Gewicht des Gebirges
- σ_{ci} = einaxialen Druckfestigkeit der Gesteinsmatrix

Tabella 1: Caratterizzazione dell'ammasso
Dove:

- γ è il peso di volume naturale dell'ammasso roccioso.
- σ_{ci} è la resistenza a compressione monoassiale di matrice.

- m_i = Krümmungsparameter aus triaxialem Druckversuch des Gebirgsmaterial
- E_i = Verformungsmodul der Gesteinsmatrix
- RMR = *Rock Mass Rating 1989*
- CAI = *Reibungsindex Cerchar*
- GSI = *Geological Strength Index*

- m_i è un parametro di curvatura dell'involuppo di rottura triassiale del materiale roccia.
- E_i è il modulo di deformazione di matrice.
- RMR è il *Rock Mass Rating 1989*.
- CAI è l'*indice di abrasività Cerchar*.
- GSI è il *Geological Strength Index*.

Die typischen Verformungs- und Festigkeitsparameter jeder Strecke wurden gemäß dem Bruchkriterium nach Hoek & Brown [20] berechnet, welches und im geomechanischem Hauptbericht [1] näher beschrieben wird.

I parametri di deformabilità e di resistenza caratteristici sono stati calcolati in accordo al principio di linearizzazione dell'involuppo di rottura proposto da Hoek & Brown [20] e esplicitato nella relazione geomeccanica generale [1].

Für die Lastberechnung des Gebirges nach Bieniawski wird das in Folge bestimmte BRMR genutzt.

Per il calcolo del carico di Bieniawski dell'ammasso roccioso si utilizza il BRMR definito come segue:

$$BRMR = RMR - R_6$$

Wobei:

Dove:

- RMR è il *Rock Mass Rating 1989*.
- R_6 = Parameter der Klassifizierung nach Bieniawski, welche die angenommene Ausrichtung der Gelenke von -10 berücksichtigt.

- RMR è il *Rock Mass Rating 1989*.
- R_6 = Parametro della classificazione di Bieniawski che tiene conto dell'orientazione dei giunti, assunto pari a -10.

Tabella 2 beinhaltet die im Plan vorsichtshalber benutzten geomechanischen Parameter und entsprechenden Anwendungsstrecken; mit E_m ist das Verformungsmodul des Gebirges angezeigt worden.

La Tabella 2 riporta i parametri geomeccanici cautelativamente utilizzati nel progetto e le relative tratte di applicazione; con E_m si è indicato il modulo di deformazione dell'ammasso.

sezione tipo	initial pk	final pk	BRMR	GSI	Em
	[km]	[km]			
	FDM		-	-	[GPa]
M-Ea-T	0	0+212	50	55	8
M-Eb-T	0+212	1+479			
M-Ec-T	1+512	1+525			
M-Ed-T	1+525	1+607			
Galleria di ventilazione					
M-G-C-Eb	0	0+085			
MCV-E-T	0+152	0+085			
M-G-C-Ea	0+152	0+207			
Ramo "B" Mules					
M-B-Ea-T	0	0+175			
M-B-Eb-T					
Ramo "A" Mules					
M-A-Ea-T	0	0+171			
M-A-Eb-T					

Tabelle 2: Typische Parameter der Gebirges

Tabella 2: Parametri caratteristici dell'ammasso

4 INNENSCHALE

4.1 STABWERKSMODELLE

Die Beanspruchungen der Innenschale wurden durch den Kodex SAP2000© (basiert auf die Finite-Elemente-Methode) mit den Stabwerksmodellen berechnet.

Die FEM Berechnung wird mit folgenden Kriterien durchgeführt.

Es wird ein Tunnelquader mit einheitliche Tiefe (1 m) berücksichtigt und es wird, mittels ebenen Finite-Elemente des Typs Träger (beam), ein Strukturmodell festgelegt. Die Tunnelschale ist durch Elemente mit einer Länge unter 0.5 m schematisiert, welche die reellen Stärken des erfassten strukturellen Elements erweisen (Kappe, Widerlager, Gegenbogen/Grundplatte).

Die strukturelle Steifigkeit der Trägerelemente wird mit $E'_c \times I_g$ des nicht gerissenen Querschnitts berechnet. Das Trägheitsmoment I_g wird angesichts der Ausbruchquerschnittachse aus Beton berechnet, indem das Vorkommen des Stahls, wo dieser vorhanden ist, übergangen wird. Das elastische Modul E'_c bei ebene Verformungslage ist:

$$E'_c = \frac{E_c}{1 - \nu^2}$$

wobei:

- E_c = Modul der Betonelastizität;
- ν = Poisson Verhältnis (0.2);

Zur Modellierung des unbewehrten Betons wird eine Methode, welche im Stande ist die Verformungskapazität des Querschnitts laut Absatz 12.5 des EC2: Pöttler Methode [24][25], genutzt.

4.2 MODELLIERUNG DER BETTUNG

Die Zusammenwirkung Boden-Struktur wird mittels Einsatz von Link Elementen simuliert, die in Höhe der Modellknoten gesetzt werden und die, nur bei Komprimierung, in der Lage sind der Struktur eine Reaktion zu übertragen die dem Annäherungsdruck Boden-Struktur entspricht.

Die Steifigkeit der Pleuel wird angesichts des Reaktionsmoduls des Bodens k und der Schnittstelle bestimmt.

Die erste wird gemäß den späterhin beschriebenen Verhältnissen bestimmt, respektive für gekrümmte und gradlinige Oberflächen. Die zweite ist, den Eigenschaften des Abdichtungsstreifens zufolge, mit $60'000\text{kN/m}^3$ angenommen worden. Letztere hat eine Verschiebungswertigkeit unter 0.5cm. Wenn diese Verschiebungen überwunden sind, wird die Schnittstellensteifigkeit die des Gebirges.

4 RIVESTIMENTO DEFINITIVO

4.1 METODO DELLE REAZIONI IPERSTATICHE

Le sollecitazioni nel rivestimento definitivo sono state calcolate tramite il codice SAP2000© (basato sul Metodo degli Elementi Finiti) con il metodo delle reazioni iperstatiche.

L'analisi FEM è svolta secondo i seguenti criteri.

Si considera un concio di galleria di profondità unitaria (1 m) e si definisce un modello della struttura mediante elementi finiti piani di tipo trave (beam). Il rivestimento della galleria è schematizzato con elementi di lunghezza inferiore a 0.5 m aventi gli spessori reali dell'elemento strutturale considerato (calotta, piedritto, arco rovescio/platea).

La rigidità strutturale degli elementi trave è calcolata come $E'_c \times I_g$. Il momento d'inerzia I_g è calcolato rispetto all'asse della sezione in calcestruzzo trascurando la presenza dell'acciaio ove presente. Il modulo elastico E'_c in condizioni di deformazioni piane, vale:

dove:

- E_c = modulo di elasticità del calcestruzzo;
- ν = rapporto di Poisson (0.2);

Per la modellazione del calcestruzzo non armato si utilizza un metodo in grado di considerare la capacità di deformazione della sezione come richiesto al paragrafo 12.5 dell'EC2: il metodo di Pöttler [24][25].

4.2 INTERAZIONE TERRENO-STRUTTURA

L'interazione terreno-struttura viene simulata mediante l'utilizzo di elementi link, posti in corrispondenza dei nodi del modello, e in grado di trasmettere alla struttura, solo se compressi, una reazione pari alla pressione di contatto terreno-struttura.

La rigidità delle bielle è determinata tenendo conto del modulo di reazione del terreno k e dell'interfaccia.

La prima è definita secondo le relazioni di seguito descritte, rispettivamente per superfici curve e rettilinee. La seconda è stata assunta pari a $60'000\text{kN/m}^3$ in virtù delle caratteristiche del pacchetto di impermeabilizzazione. Quest'ultima ha valenza per spostamenti inferiori a 0.5cm. Superati tali spostamenti, la rigidità dell'interfaccia diventa quella dell'ammasso.

Die tangentielle Steifigkeit ist übergangen worden.

La rigidezza tangenziale è stata trascurata.

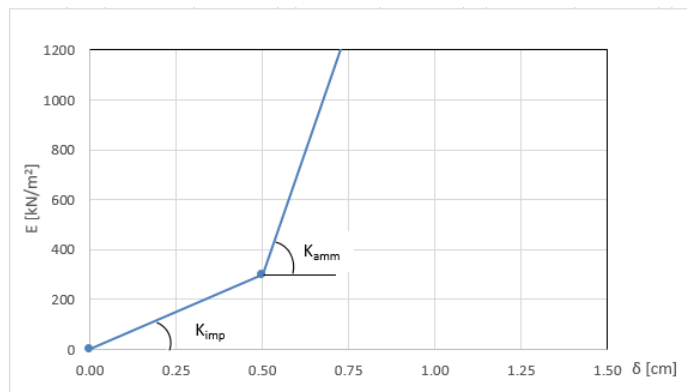


Abbildung 1: Schematisierung der Schnittstelle

Figura 1: Schematizzazione dell'interfaccia

Der Ausbruchquerschnitt ist durch ein sich als nicht abgedichtet erweisendes Gegengewölbe abgeschlossen, daher ist die Steifigkeit der Abdichtungsschicht nicht berücksichtigt worden. Zwei Federn, eine horizontale und eine vertikale, simulieren die Gebirgsreaktion an der Basis des Tunnelbogenaufsatzes mit einer Steifigkeit die von den in Folge beschriebenen Verhältnissen bestimmt ist.

La sezione è chiusa da un arco rovescio che non risulta impermeabilizzato, non si è dunque considerata la rigidezza dello strato impermeabile. Due molle una orizzontale e una verticale simulano la reazione dell'ammasso alla base della muretta con rigidezza definita dalle relazioni di seguito descritte.

4.2.1 Modellierung der Bettung

4.2.1 Rigidezza radiale

Zur Bestimmung der radialen Bettung der Innenschale im Gebirge/Boden wird das Elastizitätsmodul E , der Poisson Koeffizient ν des Gebirges, sowie der entsprechende Innenschalenradius R des Tunnels berücksichtigt:

Per la definizione della rigidezza del letto di molle radiali in materiale sciolto, si tiene conto del modulo elastico E , del coefficiente di Poisson ν dell'ammasso roccioso e del raggio interno R della galleria.

$$K_R = E \times \frac{(1-\nu)}{(1+\nu)(1-2\nu)} \times R = \frac{E_s}{R}$$

Wobei:

Dove:

- K_R = Steifigkeit der radialen Bettung Innenschale – Gebirge [MN/m³]
- E = Elastizitätsmodul des Gebirges
- E_s = Steifemodul des Gebirges
- ν = Poisson Beiwert des Gebirges
- R = Tunnelradius - Systemlinie

- K_R = rigidezza del letto di molle radiali a contatto con l'anello interno [MN/m³]
- E = modulo elastico dell'ammasso roccioso
- E_s = modulo edometrico dell'ammasso roccioso
- ν = coeff. di Poisson dell'ammasso roccioso
- R = raggio della galleria – linea di riferimento

4.2.2 Federkonstanten Auflagerbereich/Sohle

4.2.2 Costante della molla nelle zone di appoggio / fondo

Die Stütze der Konstruktion mit Sohlplatte bzw. offener Sohle wird durch Federn mit zugehöriger Steifigkeit abhängig von der Einflussbreite „b“ der einzelnen Feder modelliert. Die Federkonstanten werden wie folgt berechnet:

L'appoggio della costruzione con platea oppure con fondo aperto viene modellato con molla con rigidezza relativa all'area di influenza della singola molla "b". La costante della molla si calcola come segue:

Federkonstante c_v – vertikal

Costante della molla c_v – verticale

- $c_v = E_{\text{Geb.}} \cdot 0,5 \cdot b$

- $c_v = E_{\text{Geb.}} \cdot 0,5 \cdot b$

Federkonstante c_h – horizontal

$$c_h = 0,5 \cdot c_v$$

4.3 LASTENANALYSE

Folgende Kürzel werden für die Einwirkungen benutzt:

- G = ständige Einwirkungen
- Q = vorübergehende Einwirkungen
- A = außergewöhnliche Einwirkungen (z.B. Brand, Anprall, Explosion)
- E = Erdbeben

4.3.1 Eigengewicht G1

Das für die Berechnung des Eigengewichts verwendete Volumen basiert auf den Planmaßen der Konstruktion.

Das spezifische Eigengewicht des Betons ist mit $\gamma = 25 \text{ kN/m}^3$ zu berücksichtigen.

In diesem Lastzustand werden das Gewicht der Mittelsohle von 43.47 kN sowie der dazugehörige Transportmoment von 18.77 kNm eingesetzt.

4.3.2 Gebirgslast G5

Die Gebirgslast an der Kappe wurde gemäß der Bieniawski Theorie berechnet und mittels äquivalente Knotenkräfte in den Berechnungsmodell eingesetzt.

Diese Einwirkungen ergeben sich aus verschiedenen Beiträgen die in vertikaler und horizontaler Richtung agieren.

Die vertikale Komponente wird mit folgendem Verhältnis berechnet:

$$P_v = \gamma \cdot z + P_{v_{\text{Bieniawski}}}$$

Wobei:

- γ = spezifische Gebirgseigengewicht in kN/m^3
- z = Quotendifferenz zwischen dem Punkt auf der Mittellinie der Kappe und den berücksichtigten Schalenpunkt.
- $P_{v_{\text{Bieniawski}}}$ = Bezugslast des Gebirge an der Kappe, welche gemäß Bieniawski-Theorie durch folgendes Verhältnis bestimmt wird:

$$P_{v_{\text{Bieniawski}}} = \gamma \cdot b \cdot \frac{(100 - BRMR)}{100}$$

Wobei:

- γ = spezifische Gebirgseigengewicht in kN/m^3
- b = maximale horizontale Ausbruchquerschnittsbreite

Costante della molla c_h – orizzontale

$$c_h = 0,5 \cdot c_v$$

4.3 ANALISI DEI CARICHI

Per le azioni si utilizzano le seguenti abbreviazioni:

- G = Azioni permanenti
- Q = Azioni variabili
- A = Azioni eccezionali (per es. incendio, urto, esplosione)
- E = Azioni sismiche

4.3.1 Peso proprio G1

Il volume utilizzato per il calcolo del peso proprio si basa sulle dimensioni effettive della struttura.

Il peso specifico del calcestruzzo viene assunto pari $\gamma = 25 \text{ kN/m}^3$.

In questa condizione di carico viene inserito il peso della soletta intermedia pari a 43.47 kN e il relativo momento di trasporto pari a 18.77 kNm.

4.3.2 Carico dell'ammasso G5

Il carico d'ammasso in calotta è stato calcolato secondo la teoria di Bieniawski e inserito nel modello di calcolo mediante forze nodali equivalenti.

Tali azioni sono il risultato di diversi contributi agenti in direzione verticale e orizzontale.

La componente verticale è calcolabile attraverso la seguente relazione:

Dove:

- γ è il peso specifico equivalente dell'ammasso espresso in kN/m^3 .
- z rappresenta la differenza di quota tra il punto in mezzera della calotta e il punto del rivestimento considerato.
- $P_{v_{\text{Bieniawski}}}$ è il carico di riferimento dell'ammasso in calotta definito secondo la teoria di Bieniawski mediante la seguente relazione:

Dove:

- γ è il peso specifico equivalente dell'ammasso espresso in kN/m^3 .

- BRMR = Bieniawski-Index

Die seitliche Last wurde, gemäß folgendem Verhältnis, proportional zur vertikalen Last angenommen:

- b è l'ampiezza massima della sezione in direzione orizzontale.
- BRMR è l'indice di Bieniawski

Il carico laterale è stato assunto proporzionale a quello verticale secondo la seguente relazione:

$$P_h = P_{v_{\text{Bieniawski}}} * K_0 + Y * z * K_0$$

Sezione tipo	K_0	γ [kN/m ³]	b[m]	BRMR	$P_{v_{\text{Bieniawski}}}$ [kN/m ²]
MCV-E-T	0.55	26.5	19.6	50	260.5

Tabelle 3: Bei der Analyse benutzte Parameter

Tabella 3: Parametri utilizzati nell'analisi

4.3.3 Kriechen und Schwinden des Betons G6

Das Schwindmaß des Betons wird gemäß NTC 2008 Kap. 11.2.10.6 ermittelt.

Die Kriechzahl ϕ wird gemäß NTC 2008 Kap. 11.2.10.7 ermittelt.

Die Kriechzahl ϕ wird gemäß dem NTC 2008 Kap. 11.2.10.7 unter Berücksichtigung des Spannungszustandes aus einer Einwirkungskombination ständiger Lasten (G1 (Eigengewicht) + G2 (Oberleitung) + G5 (Gebirge)) ermittelt.

Kriechen und Schwinden des Betons bewirkt eine Längenänderung Δl . Diese Längenänderung (Endschwindmaß) liegt, in Form einer gleichmäßigen Temperaturabkühlung, der Rechnung zu Grunde.

Für alle Querschnitte die höher als 25 cm und aus Beton der Festigkeitsklasse C30/37 sind, ergibt sich eine Durchschnitungsverformung per autogenes zeitlich unendliches Schwinden von 0.27‰. Bei der Dimensionierung wurde das von der Norm vorgeschriebene 50% des Schwindens übernommen, was durch eine gleichmäßige Temperaturabkühlung von -13.4 C° simulierbar ist. Diese Abkühlung muss, z.B., mittels Einsatz eines funktionstüchtigen Superverflüssigungsmittels (Typ MasterGlenium von BASF), nicht-kalkhaltigen Zuschlagstoffen und Zugabe eines Expansionsmittels (Typ MasterLife SRA100 von BASF) bewirkt werden. Das angewendete System muss auf der Baustelle zuvor mit Proben geprüft werden.

Bei der Modellierung der Innenschale, insbesondere bezüglich NTC08 Kapitel 4.1.1.1, verfährt man mit einer gleichmäßigen Temperaturabkühlung von -6.7° C an den GZT und von -8.9°C an den GZG.

4.3.4 Temperatur Q1

Zur Dimensionierung der Innenschalen berücksichtigt man, gemäß folgende Tabelle, die nach Eingangsabstand, unter 3 km, sich ergebenden Temperatureinwirkungen.

4.3.3 Viscosità e ritiro del calcestruzzo G6

La deformazione dovuta al ritiro del calcestruzzo si calcola in base al paragrafo 11.2.10.6 delle NTC 2008.

Il valore di viscosità ϕ si calcola secondo le NTC 2008, capitolo 11.2.10.7.

Il coefficiente di viscosità ϕ si calcola ai sensi delle NTC 2008 par. 11.2.10.7, considerando la condizione tensionale derivante dalla combinazione di azioni permanenti (G1 (peso proprio) + G2 (catenaria) + G5 (Carico dell'ammasso)).

Viscosità e ritiro del calcestruzzo comportano un cambiamento in lunghezza Δl (valore finale del ritiro), su cui deve essere basato il calcolo, in forma di diminuzione uniforme della temperatura.

Per tutte le sezioni con altezza maggiore di 25 cm e calcestruzzo con classe di resistenza C30/37 risulta una deformazione media per ritiro autogeno a tempo infinito pari a 0.27‰. Nel dimensionamento si è assunto il 50% del ritiro imposto dalla Normativa, simulabile mediante l'applicazione di un abbassamento uniforme della temperatura di -13.4 C°. Tale riduzione dovrà essere ottenuta, ad esempio, mediante l'utilizzo di un superfluidificante performante (tipo MasterGlenium della BASF), di inerti non calcarei e tramite l'aggiunta di un espansivo (tipo MasterLife SRA100 della BASF). Il sistema adottato dovrà essere verificato con prove preventive in cantiere.

Nella modellazione del rivestimento definitivo, con particolare riferimento al paragrafo 4.1.1.1 dell'NTC08, si procede applicando un abbassamento uniforme della temperatura di -6.7° C agli SLU e di -8.9°C agli SLE.

4.3.4 Temperatura Q1

Per il dimensionamento rivestimenti definitivi si considerano le azioni termiche, in conformità alla seguente tabella, secondo la distanza dall'imbocco, minore di 3 km.

Abstand Portal / Distanza dall'imbocco [km]	< 3,0	
Temperaturgradient / gradiente della temperatura ΔT [°C]	5	
ΔT_{eff} [°C]	Winter / inverno	Sommer / estate
	-16	16

Tabelle 4: Temperatureinwirkung

Der Temperaturgradient zeigt die Temperaturdifferenz zwischen den Innen- und Außenoberflächen der Betonquaderschale.

Die aufgrund der Temperatur entstehenden Belastungen beim Bau der Innenschalen werden übergangen.

Die aufgrund der Temperatur ausgehenden Einwirkungen in Folge eines Brands sind Gegenstand des Kapitels 4.3.7.

4.3.5 Erdbebeneinwirkung E1

Im Gegensatz zu den anderen Lastkombinationen stellt die Erdbebenlast ein wenig beeinflussenden Zustand da und wird deshalb nicht berücksichtigt.

4.3.6 Aufprall A2

Die Last des Aufpralls wird nur in den Verzweigungskavernen und den Portalen berücksichtigt. Im vorliegenden Bereich wird sie daher nicht berücksichtigt.

4.3.7 Brand A3

Die Dimensionierung im Brandfall wird gemäß den Vorschriften der EN 1992-1-2 ausgeführt.

Gemäß den Vorschriften des MD 28/10/2005 Sicherheit in den Eisenbahntunnels, wird die Stabilität aller Bauwerke in Hinblick auf der Temperatur-Zeit Kurve laut UNI 11076 gemäß D0118-04326 "Sicherheit gegen die Brandexplosionen" gewährleistet.

Die bewehrten und unbewehrten Ausbruchquerschnitte sind hinsichtlich eines Brandes gemäß den Kriterien des spezifischen Berichts [5] geprüft worden. Die Ergebnisse sind im Anhang 1 aufgezeigt. Hier begrenzt man sich mit der Beobachtung, dass, einvernehmlich mit der Tabelle D.6.3 des M.D. 16.02.2007 "Klassifizierung der Feuerbeständigkeit der Bauprodukt und -elemente für Bauwerke", ausreichende Bedingungen zur Gewährleistung der REI 120 Klasse sind:

- Stärke 's' der Strukturelemente größer als 160 mm;
- Betondeckung 'a' (Achsenabstand der Bewehrung von der ausgesetzten Oberfläche) größer als 35 mm.

Beide Voraussetzungen sind zufriedenstellend.

Tabella 4: Variazione termica

Il gradiente della temperatura indica la differenza di temperatura tra le superfici interna ed esterna del rivestimento in conci.

Le sollecitazioni derivanti dalla temperatura durante la costruzione dell'anello vengono trascurate.

Le azioni derivanti dalle alte temperatura a seguito di incendio sono oggetto del paragrafo 4.3.7.

4.3.5 Azione sismica E1

Il carico sismico rappresenta una condizione poco influente rispetto alle altre combinazioni di carico e pertanto non viene considerata.

4.3.6 Urto A2

Il carico da urto è da considerare solo nelle caverne di diramazione e ai portali. Nella zona in oggetto non è pertanto considerato.

4.3.7 Incendio A3

Il dimensionamento in caso di incendio si esegue in conformità alle prescrizioni della EN 1992-1-2.

In accordo con le prescrizioni del DM 28/10/2005 Sicurezza gallerie ferroviarie viene garantita la stabilità di tutte le opere in considerazione della curva temperatura-tempo secondo la UNI 11076 in conformità a D0118-04326 "Sicurezza contro le esplosioni di incendio".

Le sezioni, armate e non, sono state verificate nei confronti dell'incendio secondo i criteri esposti nella relazione specifica [5]. I risultati sono riportati nell'Appendice 1. In questa sede ci si limita ad osservare che in accordo alla tabella D.6.3 del D.M. 16.02.2007 "Classificazione di resistenza al fuoco di prodotti ed elementi costruttivi di opere da costruzione" condizioni sufficienti affinché la classe di resistenza REI 120 sia garantita sono:

- spessore 's' degli elementi strutturali maggiore di 160 mm;
- copriferro 'a' (distanza dell'asse delle armature dalla superficie esposta) maggiore di 35 mm.

Entrambi i requisiti sono soddisfatti.

4.4 EINWIRKUNGSKOMBINATIONEN

Die zu untersuchenden Einwirkungskombinationen müssen gemäß NTC 2008 mit den entsprechenden Kombinationsbeiwerten ψ berücksichtigt werden.

Die maßgebenden Einwirkungskombinationen für die Dimensionierung der Innenschale sind nachfolgend aufgezeigt:

4.4 COMBINAZIONI DI CARICO

Le combinazioni delle azioni da analizzare devono essere considerate in conformità alle NTC 2008, con i relativi coefficienti di combinazione ψ .

Le combinazioni delle azioni rilevanti per il dimensionamento dell'anello sono di seguito riportate:

Lastfall / Caso di carico	ständig / permanenti							vorübergehend / variabili			außergewöhnlich / eccezionali				
	Eigengewicht	Oberleitung	Sohibeton	Wasserdruck	Gebirgslast ohne Auftrieb	Kriechen und Schwinden	Quell-druck	Temperatur (Sommer)	Temperatur (Winter)	Verkehrslast (Zugfahrt)	Erdbeben	Anprall	Brand	Druck infolge Zugfahrt	Sog infolge Zugfahrt
	Peso proprio	Catenaria	Carichi permanenti sull'arco rovescio	Carico idraulico	Carichi della roccia in condizioni asciutte	Ritiro e rilassamento	Swelling-Squeezing	Temperatura (Estate)	Temperatura (Inverno)	Carico ferroviario	Sisma	Impatto	Fuoco	Carico aerodinamico (pressione)	Carico aerodinamico (aspirazione)
Einwirkungskombination / Combinazioni	G1	G2	G3	G4	G5	G6	G7	Q1	Q1	Q2	E1	A2	A3	A1	A1
druckentlastet / sistema drenato	1	1.35						1.50							
		1.00						1.00							
	2	1.35					1.00		1.50						
		1.00					1.00		1.00						
	3	1.35	1.35	1.00					1.50						
		1.00	1.00	1.00					1.00						
	4	1.35	1.35	1.00			1.00		1.50						
		1.00	1.00	1.00			1.00		1.00						
	5	1.35	1.35	1.00	1.35	1.35			1.50						
		1.00	1.00	1.00	1.00	1.00			1.00						
	6	1.35	1.35	1.00	1.35	1.35	1.00		1.50						
		1.00	1.00	1.00	1.00	1.00	1.00		1.00						
11	1.00	1.00	1.00					0.60						1.00	
12	1.00	1.00	1.00			1.00		0.60						1.00	
13	1.00	1.00	1.00	1.00	1.00			0.60			1.00				
14	1.00	1.00	1.00	1.00	1.00	1.00		0.60			1.00				
21	1.00	1.00	1.00	1.00	1.00			0.60					1.00		
22	1.00	1.00	1.00	1.00	1.00	1.00							1.00		

Tabelle 5: Lastenkombinationen

Tabella 5: Combinazioni di carico

4.5 NACHWEISE

Für den Nachweis des Grenzzustandes und der Grenzgebrauchstauglichkeit der Innenschale wurden die Wirkungskombinationen gemäß Vorgaben des NTC2008, Kap. 2.5.3 berücksichtigt.

4.5.1 Grenzzustand der Tragfähigkeit (GZT)

4.5.1.1 Teilsicherheitsfaktoren Einwirkungen

Die zu berücksichtigenden Teilsicherheitsfaktoren variieren abhängig von Kombinationen und Art der Einwirkungen. Gemäß NTC2008 werden folgende Teilsicherheitsfaktoren für ständige, vorübergehende und außergewöhnliche Bemessungssituationen berücksichtigt:

$$\begin{aligned} \gamma_{Gj,inf} \text{ günstig/favorevole} &= 1,00 / 1,00 / 1,00 \\ \gamma_{Gj,sup} \text{ ungünstig/sfavorevole} &= 1,35 / 1,20 / 1,00 \\ \gamma_{Q,1,sup} / \gamma_{Q,i,sup} \text{ günstig/favorevole} &= 0,00 / 0,00 / 0,00 \\ \gamma_{Q,1,sup} / \gamma_{Q,i,sup} \text{ ungünstig/sfavorevole} &= 1,50 / 1,30 / 1,00 \end{aligned}$$

Angesichts der Einwirkungen aus dem Schwinden für die Überprüfung im Grenzzustand der Tragfähigkeit, wurde gemäß EC2, Teil 1, Kap. 2.4.2.1, der Teilsicherheitsbeiwert $\gamma_{SH} = 1,0$ berücksichtigt.

4.5 VERIFICHE

Per la verifica allo stato limite ultimo ed allo stato limite di esercizio dell'anello sono state considerate le combinazioni delle azioni in conformità delle prescrizioni del paragrafo 2.5.3 delle NTC2008.

4.5.1 Stati Limite Ultimi (SLU)

4.5.1.1 Coefficienti parziali di sicurezza per le azioni

I coefficienti parziali di sicurezza da considerare variano in funzione delle combinazioni e del tipo di azioni. In conformità alle NTC2008, per le situazioni di dimensionamento standard, temporanee ed eccezionali sono da considerarsi i seguenti coefficienti parziali di sicurezza:

Considerando le azioni derivanti dal ritiro, per la verifica allo stato limite ultimo, si è considerato, in conformità all'EC2, parte 1, paragrafo 2.4.2.1 il coefficiente parziale di sicurezza $\gamma_{SH} = 1,0$.

4.5.1.2 Kombinationsbeiwerte Einwirkungen

Gemäß EN 1990 bzw. NTC2008 müssen folgende Kombinationsbeiwerte benutzt werden:

Einwirkung /	Ψ_0	Ψ_1	Ψ_2
Druck / Sog infolge Zugfahrt A1 / Pressione aerodinamica A1	0,8	0,5	0,0
Temperatur Q1 / Forze termiche Q1	0,6	0,6	0,5

Tabelle 6: Kombinationsbeiwerte

4.5.1.2 Coefficienti di combinazione delle azioni

In conformità alla EN 1990 ovvero alla NTC2008 devono essere utilizzati i seguenti coefficienti di combinazione:

Tabella 6: Coefficienti di combinazione

4.5.1.3 Einwirkungskombinationen

Die zu untersuchenden Einwirkungskombinationen müssen gemäß NTC 2008 mit den entsprechenden Kombinationsbeiwerten ψ zu berücksichtig werden.

Die für die Dimensionierung der Innenschale entsprechenden maßgebenden Einwirkungskombinationen sind abhängig von den in-situ vorherrschenden Randbedingungen auszuwählen.

4.5.1.4 Teilsicherheitsfaktoren der Widerstände

Die Teilsicherheitsfaktoren der Widerstände bei einer ständigen und vorübergehenden Bemessungssituation sind, wie mit BBT SE vereinbart, wie folgt zu betrachten, unter Berücksichtigung einer Bauwerklebensdauer von 200 Jahren:

Stahlbeton

- Teilsicherheitskoeffizient für den Betonwiderstand $Y_c = 1,60$
- Minderungsbeiwert zur Berücksichtigung der Langzeitwirkung der Betondruckfestigkeit: $\alpha_{cc} = 0,85$
- Teilsicherheitskoeffizient für Stahlwiderstand $Y_s = 1,20$

Unbewehrter Beton

- Teilsicherheitskoeffizient für den Betonwiderstand $Y_c = 1,60$
- Minderungsbeiwert zur Berücksichtigung der Langzeitwirkung der Betondruck: $\alpha_{cc} = 0,80$

Für die Überprüfungen der außergewöhnlichen Bemessungssituation müssen die Teilsicherheitsfaktoren mit $Y_c = 1,20$ und $Y_s = 1,00$ berücksichtigt werden. Der Minderungsbeiwert der Betondruckfestigkeit α bleibt unverändert.

4.5.1.5 Überprüfung auf Beulspannung

Die Bemessung des Stahlbetons erfolgt gemäß den Vorgaben des NTC2008, Kap. 4.1.2.1.2.

4.5.1.3 Combinazione delle azioni

Le combinazioni delle azioni da analizzare devono essere considerate in conformità alle NTC 2008, con i relativi coefficienti di combinazione ψ .

Le combinazioni delle azioni rilevanti per il dimensionamento dell'anello devono essere scelte in funzione delle effettive condizioni al contorno in situ.

4.5.1.4 Coefficienti parziali di sicurezza per le resistenze

I coefficienti parziali di sicurezza per le resistenze in fase permanente e temporanea vanno considerati, come concordato con BBT SE, come segue tenendo conto della vita utile dell'opera di 200 anni:

Calcestruzzo armato

- Coefficiente parziale di sicurezza per la resistenza del calcestruzzo $Y_c = 1,60$
- Coefficiente riduttivo della resistenza a compressione del calcestruzzo di lunga durata: $\alpha_{cc} = 0,85$
- Coefficiente parziale di sicurezza Y_s per la resistenza dell'acciaio $Y_s = 1,20$

Calcestruzzo non armato

- Coefficiente parziale di sicurezza per la resistenza del calcestruzzo $Y_c = 1,60$
- Coefficiente riduttivo della resistenza a compressione del calcestruzzo di lunga durata: $\alpha_{cc} = 0,80$

Per le verifiche nella situazione di dimensionamento eccezionale i fattori parziali di sicurezza devono essere considerati con $Y_c = 1,20$ e $Y_s = 1,00$. Il coefficiente di riduzione della resistenza a compressione del calcestruzzo α resta invariato.

4.5.1.5 Verifica a pressoflessione

Per il calcestruzzo armato il calcolo segue le indicazioni delle NTC2008, par. 4.1.2.1.2.

Bei den unbewehrten überwiegend komprimierten Ausbruchquerschnitten erfolgt die Überprüfung auf Beulspannung, gemäß dem N.T.C. 2008, durch die Überprüfung folgender Ungleichung:

Nelle sezioni non armate prevalentemente compresse, la verifica a pressoflessione è condotta, in accordo con le N.T.C. 2008, verificando la seguente disuguaglianza:

$$N_{Ed} \leq N_{Rd} = f_{cd} \cdot b \cdot x$$

$$\text{Con } x = h - 2 \cdot e = h - 2 \cdot \frac{M_{Ed}}{N_{Ed}}$$

Wobei:

- N_{Ed}, M_{Ed} = Planungsbelastungen;
- b = Breite des Bezugausbruchquerschnitts (1m);
- h = Höhe des Ausbruchquerschnitts;
- x = Höhe des reagierenden Ausbruchquerschnitts.

Dove:

- N_{Ed}, M_{Ed} sono le sollecitazioni di progetto;
- b è la larghezza della sezione di riferimento (1m);
- h è l'altezza della sezione;
- x è l'altezza della sezione reagente.

Bei den unbewehrten Ausbruchquerschnitten mit hoher Exzentrizität, bei denen die oben ausgeführte Prüfung offenbar nicht befriedigt ist, berücksichtigt man, gemäß EC2 (§12.3.1), die Betonzugfestigkeit bis zum Planungswert f_{ctd} . Die Prüfung ergibt sich als zufriedenstellend wenn:

Nelle sezioni non armate con un'elevata eccentricità, in cui la verifica sopra esposta non è ovviamente soddisfatta, in accordo con l'EC2 (§12.3.1) si considera la resistenza a trazione del calcestruzzo fino al valore di progetto f_{ctd} . La verifica risulta soddisfatta se:

$$\sigma_{1,2} = \frac{N_{Ed}}{A} \pm \frac{M_{Ed}}{J} \cdot (h/2) \leq \begin{cases} f_{cd} \\ f_{ctd} \end{cases}$$

Wobei:

- J = Trägheitsmoment des Ausbruchquerschnitts.

Dove:

- J è il momento d'inerzia della sezione

4.5.1.6 Querkraftüberprüfung

Die Bemessung des Stahlbetons erfolgt gemäß den Vorgaben des NTC2008, Kap. 4.1.2.1.2.3.

Die Bemessung bei der unbewehrten Innenschale erfolgt gemäß des NTC2008, bei Prüfung folgender Ungleichung:

4.5.1.6 Verifica a taglio

Per il calcestruzzo armato il calcolo segue le indicazioni delle NTC2008, par. 4.1.2.1.3.

Per il rivestimento interno non armato si seguono le NTC 2008, verificando la seguente disuguaglianza:

$$V_{Ed} \leq V_{Rd} = f_{cvd} \cdot \frac{b \cdot x}{1.5}$$

$$f_{cvd} = \sqrt{f_{ctd}^2 + \sigma_c \cdot f_{ctd}} \quad \text{per } \sigma_c \leq \sigma_{clim}$$

$$f_{cvd} = \sqrt{f_{ctd}^2 + \sigma_c \cdot f_{ctd} - \delta^2/4} \quad \text{per } \sigma_c > \sigma_{clim}$$

$$\delta = \sigma_c - \sigma_{clim}$$

$$\sigma_{c\text{lim}} = f_{cd} - 2 \cdot \sqrt{f_{ctd}^2 + f_{cd} \cdot f_{ctd}}$$

Bei den überwiegend komprimierten Ausbruchquerschnitten wird die Durchschnittsbelastung der Komprimierung σ_c als Durchschnitt der Komprimierungen im reagierenden Ausbruchquerschnittsteil 'x' berechnet:

Nelle sezioni prevalentemente compresse, lo sforzo medio di compressione σ_c è calcolato come media delle compressioni nella porzione di sezione reagente 'x':

$$\sigma_c = \frac{N_{Ed}}{x} = \frac{N_{Ed}}{h - 2 \cdot e}$$

In den Ausbruchquerschnitten mit hoher Exzentrizität, konsequenterweise zur Annahme die Betonzugfestigkeit bis auf den Wert f_{ctd} zu erfassen, wird der Querkraftwiderstand des Ausbruchquerschnitts ausgewertet, indem der ganze Ausbruchquerschnitt als reagierend ($x=h$) betrachtet wird, und die Spannung σ_c als Durchschnittsspannung des ganzen Querschnitts, sowohl komprimiert als auch gespannt, gewertet wird.

Nelle sezioni con un'elevata eccentricità, coerentemente con l'assunzione di considerare la resistenza a trazione del calcestruzzo fino al valore di f_{ctd} , la resistenza a taglio della sezione viene valutata considerando reagente l'intera sezione ($x=h$) e valutando la tensione σ_c come tensione media nell'intera sezione, sia compressa che tesa.

$$\sigma_c = \frac{\sigma_1 + \sigma_2}{2}$$

4.5.2 Grenzzustände der Gebrauchstauglichkeit (GZG)

4.5.2 Stati Limite Esercizio (SLE)

4.5.2.1 Teilsicherheitsfaktoren Einwirkungen

4.5.2.1 Coefficienti parziali di sicurezza delle azioni

Bei der Überprüfung des Grenzzustands der Gebrauchstauglichkeit müssen die charakteristischen Einwirkungen mit deren Kombinationen berücksichtigt werden.

Nella verifica agli stati limite di esercizio devono essere considerate le azioni caratteristiche con le loro combinazioni.

4.5.2.2 Kombinationsbeiwerte Einwirkungen

4.5.2.2 Coefficienti di combinazione delle azioni

In Tabelle 5 befinden sich die bei Einwirkungskombinationen zu berücksichtigenden Beiwerten. Die Kombinationsbeiwerte werden gemäß Tabelle 6 berücksichtigt.

In Tabella 5 si trovano i coefficienti da considerare nelle combinazioni delle azioni. I coefficienti di combinazione sono da considerare come in Tabella 6.

4.5.2.3 Einwirkungskombinationen

4.5.2.3 Combinazioni delle azioni

Die zu untersuchenden Einwirkungskombinationen müssen, gemäß NTC 2008, mit den entsprechenden Kombinationsbeiwerten ψ berücksichtigt werden.

Le combinazioni delle azioni da analizzare devono essere considerate in conformità alle NTC 2008, con i relativi coefficienti di combinazione ψ .

4.5.2.4 Teilsicherheitsfaktoren der Widerstände

4.5.2.4 Coefficienti parziali di sicurezza per le resistenze

Für die Überprüfung des Grenzzustands der Gebrauchstauglichkeit werden die charakteristischen Werte der Widerstände berücksichtigt.

Per la verifica agli stati limite di esercizio si devono considerare i valori caratteristici delle resistenze.

4.5.2.5 Ermittlung der Verformungen

4.5.2.5 Calcolo delle deformazioni

Die Ermittlung der Systemverformung erfolgt im GZG unter Berücksichtigung der Kombinationsregeln mit den

Il calcolo delle deformazioni del sistema si esegue allo SLE in considerazione delle regole di combinazione con i carichi caratteristici e dei relativi coefficienti di combinazione.

charakteristischen Einwirkungen sowie den entsprechenden Kombinationsbeiwerten.

4.5.2.6 Begrenzung der Rissbreiten

Unter Berücksichtigung der NTC2008, wird im Grenzzustand der Gebrauchstauglichkeit die maximale Rissweite w_{kal} für die maßgebenden Einwirkungskombinationen, unter Berücksichtigung der Teilsicherheitsfaktoren und Minderungsfaktoren ψ laut Tabelle 5 nachgewiesen. Die zulässige Rissbreite für Normalbeton ohne besondere Stärkeanforderung oder bei Abdichtungsvorkommen wird auf $w_{kal} \leq 0,3$ mm begrenzt.

Bei besonderer Anforderung an Stärke der Betoninnenschale oder bei aggressiven oder sehr aggressiven Umgebungsbedingungen wird die maximale Rissweite auf $w_{kal} \leq 0,2$ mm begrenzt.

4.6 BAULICHE DURCHBILDUNG

4.6.1 Bauliche Durchbildung

Gemäß UNI 11104 und UNI EN 206-1:2006, wird bei Expositionsklasse XC3/XA1 die Anwendung von Beton der Festigkeitsklasse C30/37, hingegen bei Expositionsklasse XC4/XA2 Beton der Festigkeitsklasse C32/40 vorgesehen.

Die Berechnung der Mindestbetondeckung zur Gewährleistung der Bauwerklebensdauer >100 Jahren ist gemäß N.T.C. 2008 durchgeführt:

	XC3	XC4
Festigkeitsklasse	30/37	32/40
Umweltbedingungen	Normal	Aggressiv
C_{min} [mm]	20	30
Nutzbare Lebenszeit > 100 Jahre	+10	+10
Bauliche Toleranz [mm]	+10	+10

C_{nom} [mm]	40	50
----------------	----	----

Tabelle 7: Mindestbetondeckung

Zur Einheitlichkeit ist eine Betondeckung von 5 cm entlang der ganzen Entwicklung der Tunnels vorgesehen.

4.6.2 Mindestbewehrung

Im Fall einer bewehrten Innenschale, wird die Mindestbewehrung im NTC 2008, Punkt 4.1.6.1.1 bestimmt.

Die Querschnittsfläche der Längszugbewehrung darf nicht geringer sein als:

4.5.2.6 Limitazione dello spessore delle fessure

In considerazione delle NTC2008, si controlla allo SLE lo spessore massimo delle fessure w_{kal} per le combinazioni di carico rilevanti, in considerazione dei fattori parziali di sicurezza e dei coefficienti di riduzione ψ secondo Tabella 5. La larghezza delle fessure ammessa per il cls normale senza particolari requisiti di spessore o in presenza di impermeabilizzazione è limitata a $w_{kal} \leq 0,3$ mm.

In caso di particolari requisiti di spessore del rivestimento interno o di condizioni ambientali aggressive o molto aggressive la larghezza massima è limitata a $w_{kal} \leq 0,2$ mm.

4.6 STRUTTURA COSTRUTTIVA

4.6.1 Classe di esposizione e copriferro minimo

In accordo alle UNI 11104 e alle UNI EN 206-1:2006, in classe di esposizione XC3/XA1 è previsto l'utilizzo di calcestruzzo C30/37 mentre in classe di esposizione XC4/XA2 è previsto l'utilizzo di calcestruzzo C32/40.

Il calcolo del copriferro minimo al fine di garantire una vita utile dell'opera >100 anni è condotto in accordo alle N.T.C. 2008:

	XC3	XC4
Classe di resistenza	30/37	32/40
Cond. ambientali	Normali	Aggressive
C_{min} [mm]	20	30
Vita utile > 100anni [mm]	+10	+10
Tolleranza costruttiva [mm]	+10	+10

C_{nom} [mm]	40	50
----------------	----	----

Tabella 7: Copriferro minimo.

Per omogeneità si prevede un copriferro netto di 5 cm lungo tutto lo sviluppo delle gallerie.

4.6.2 Armatura minima

In caso il rivestimento necessiti di armatura il quantitativo minimo di armatura da inserire viene definito al punto 4.1.6.1.1 delle NTC 2008.

L'area dell'armatura longitudinale in zona tesa non deve essere inferiore a:

$$A_{S,\min} = 0.26 \frac{f_{ctm}}{f_{yk}} \times b \times d$$

und jedenfalls nicht geringer als $0,0013 \times b \times d$,

wobei:

- b = mittlere Breite der Zugzone;
- d = Nutzhöhe des Querschnitts;
- f_{ctm} = Mittelwert der Zugfestigkeit des Betons;
- f_{yk} = charakteristische Wert der Streckengrenze des Betonstahls.

4.7 ERGEBNISSE

Die Berechnungen in Anhang 1 zeigen, dass der Ausbruchquerschnitt Bewehrung benötigt. Diese Bewehrung wird aus $6\phi 26/m$ am Tunnelbogenaufsatz und $6\phi 18/m$ an der Sohlplatte, sowohl an Laibung als auch am Rücken bestehen. An der Kappe und den Tunnelbogenaufsätzen sind $4\phi 26/m$ sowohl an Laibung als auch am Rücken vorgesehen.

Der Tunnelbogenaufsatz benötigt auch Schubbewehrung, mit 6 Bügelarmen $\phi 12$ mm im Querschnitt, alle 25 cm. Der Tunnelbogenaufsatz besteht auf einer Seite aus den benannten Elementen R17, R18, A31, A32, A33 sowie auf der anderen aus den Elementen R15, R16, A01, A02 und A03.

Der erste Teil der Widerlager hat an den Tunnelbogenaufsätzen auch bis auf ca. 2 m über der Einspritzung eine Schubbewehrung mit Bügel $\phi 12$ mm, Abstand 25×30 cm.

Auch der erste Teil des Gegengewölbes hat an den Tunnelbogenaufsätzen eine Schubbewehrung mit 6 Bügel $\phi 12$ mm im Querschnitt, alle 40 cm.

Der Einfall der Tunnelbogenaufsätze ist von 60 kg/m^3 , in den Widerlager und der Kappe ist er von 80 kg/m^3 .

5 SAUGSCHACHT

Die Bemessung der Saugschachtinnenschale erfolgte vorsichtshalber ausgehend von der Gebirgslast, welche zur Innenschalenbemessung der darunter liegende Lüftungskaverne genutzt wurde.

Diese Last, festgelegt in Kap. 4.3.2 dieses Dokuments, erweist sich von ca. 260.5 kN/m^2 .

Der Höchstdruck des in Radialrichtung des Schachts wirkenden Gebirges, ergibt sich daher von:

e comunque non minore di $0,0013 \times b \times d$,

dove:

- b rappresenta la larghezza media della zona tesa;
- d è l'altezza utile della sezione;
- f_{ctm} è il valore medio della resistenza a trazione del calcestruzzo;
- f_{yk} è il valore caratteristico della resistenza a trazione dell'armatura ordinaria.

4.7 RISULTATI

Le analisi riportate in Appendice 1 mostrano che la sezione necessita di armatura. Tale armatura sarà costituita da $6\phi 26/m$ nella muretta e da $6\phi 18/m$ nella fondazione, sia in intradosso che in estradosso. In calotta e nei ritti sono previsti $4\phi 26/m$ sia in intradosso che in estradosso.

La muretta è armata anche a taglio con 6 bracci di spilli $\phi 12$ mm in sezione trasversale, ogni 25 cm. La muretta si intende costituita dagli elementi chiamati R17, R18, A31, A32, A33 da un lato e R15, R16, A01, A02 e A03 dall'altro.

La prima parte dei ritti in corrispondenza delle murette, fino a circa 2 m sopra la ripresa di getto, è anch'essa armata a taglio con spilli $\phi 12$ mm a passo 25×30 cm.

Anche la prima parte dell'arco rovescio in corrispondenza delle murette è armata a taglio con 6 spilli $\phi 12$ mm in sezione trasversale ogni 40 cm.

L'incidenza della muretta è di 60 kg/m^3 , nei ritti e nella calotta è di 80 kg/m^3 .

5 POZZO DI ASPIRAZIONE

Il dimensionamento del rivestimento definitivo del pozzo di aspirazione è stato effettuato cautelativamente a partire dal carico di ammasso utilizzato per il dimensionamento del rivestimento definitivo del Camerone di Ventilazione ad esso sottostante.

Tale carico, determinato al cap. 4.3.2 del presente documento, risulta pari a circa 260.5 kN/m^2 .

La pressione d'ammasso massima, agente nella direzione radiale al pozzo, risulta quindi pari a:

$$P_H = P_{V(\text{Bieniawski})} * k_0 = 196 \frac{kN}{m^2}$$

In Folge sind die Überprüfungsergebnisse aufgezeigt.

Di seguito sono riportati i risultati della verifica.

Die vorgesehene axiale Wirkung in der Schachtschale, welche aus der vereinfachten Formulierung für dünne Rohre von Mariotte entnommen wurde, ergibt sich aus:

L'azione assiale prevista nel rivestimento del pozzo dedotta dalla formulazione semplificata per tubi sottili di Mariotte, è data da:

$$N_{Ed} = P_H * r_{\text{pozzo}} * \gamma_G = 196 * 2.7 * 1.35 = 714 \text{ kN}$$

Der axiale Planwiderstand hingegen ist von:

La resistenza assiale di progetto, viceversa, è pari a:

$$N_{R,d} = 15.36 \cdot A = 15.36 \cdot 0.3 = 4608 \text{ kN}$$

Die Überprüfung erweist sich daher als befriedigt da $N_{Ed} < N_{R,d}$.

La verifica risulta dunque soddisfatta in quanto $N_{Ed} < N_{R,d}$.

6 VERZEICHNISSE

6.1 TABELLENVERZEICHNIS

Tabelle 1: Charakterisierung des Gebirges.....	6
Tabelle 2: Typische Parameter der Gebirges.....	7
Tabelle 3: Bei der Analyse benutzte Parameter.....	11
Tabelle 4: Temperatureinwirkung.....	12
Tabelle 5: Lastenkombinationen.....	13
Tabelle 6: Kombinationsbeiwerte.....	14
Tabelle 7: Mindestbetondeckung.....	17

6.2 ABBILDUNGSVERZEICHNIS

Abbildung 1: Schematisierung der Schnittstelle.....	9
---	---

6.3 ANLAGENVERZEICHNIS

- ANHANG 1 - FEM-ANALYSE DER INNENSCHALE

6.4 REFERENZDOKUMENTE

6.4.1 Eingangsdokumente

- [1] 02_H61_GD_992_GTB_D0700_13018 - Brenner Basistunnel - Ausführungsplanung - D0700: Baulos Muls 2-3 - Gesamtbauwerke - Technischer Bericht - Allgemeiner geomechanischer Bericht
- [2] 02_H61_GD_090_GTB_D0700_21001 - Brenner Basistunnel - Ausführungsplanung - D0700: Baulos Muls 2-3 - Gesamtbauwerke Teil 1 - Geomechanischer Detailbericht
- [3] 02_H61_GD_090_GLS_D0700_21011 - Brenner Basistunnel - Ausführungsplanung - D0700: Baulos Muls 2-3 - Gesamtbauwerke Teil 1 - Geomechanischer Prognoseprofil Fensterstollen Muls und angrenzende Bauwerke
- [4] OP-EI.01.01 - Brenner Basistunnel - Ausführungsplanung - Erkundungsstollen Periadriatik und vorbereitende Bauwerke Bereich Muls - Beschreibender Gesamtbericht - Rev 01, (Becchiega, 06/12/2010, Marini, 10/12/2010, Lombardi, 15/12/2010)
- [5] 02_H61_EG_995_KTB_D0700_15003 - Brenner Basistunnel - Ausführungsplanung - D0700: Baulos Muls 2-3 - Gesamtbauwerke - Sicherheit bzgl. Feuerexposition

6 ELENCHI

6.1 ELENCO DELLE TABELLE

Tabella 1: Caratterizzazione dell'ammasso.....	6
Tabella 2: Parametri caratteristici dell'ammasso.....	7
Tabella 3: Parametri utilizzati nell'analisi.....	11
Tabella 4: Variazione termica.....	12
Tabella 5: Combinazioni di carico.....	13
Tabella 6: Coefficienti di combinazione.....	14
Tabella 7: Copriferro minimo.....	17

6.2 ELENCO DELLE ILLUSTRAZIONI

Figura 1: Schematizzazione dell'interfaccia.....	9
--	---

6.3 ELENCO APPENDICI

- APPENDICE 1 - ANALISI FEM DEL RIVESTIMENTO DEFINITIVO

6.4 DOCUMENTI DI RIFERIMENTO

6.4.1 Documenti in ingresso

- [1] 02_H61_GD_992_GTB_D0700_13018 - Galleria di Base del Brennero - Progettazione esecutiva - D0700: Lotto Muls 2-3 - Opere generali - Relazione tecnica - Relazione geomeccanica generale
- [2] 02_H61_GD_090_GTB_D0700_21001 - Galleria di Base del Brennero - Progettazione esecutiva - D0700: Lotto Muls 2-3 - Opere generali Parte 1 - Relazione geomeccanica di dettaglio
- [3] 02_H61_GD_090_GLS_D0700_21011 - Galleria di Base del Brennero - Progettazione esecutiva - D0700: Lotto Muls 2-3 - Opere generali Parte 1 - Profilo geomeccanico e progettuale di previsione Finestra di Muls e opere annesse
- [4] OP-EI.01.01 - Galleria di Base del Brennero-Progetto Esecutivo - Cunicolo Esplorativo Periadriatica ed Opere Propedeutiche ambito Muls - Relazione descrittiva generale-Rev 01, (Becchiega, 06/12/2010, Marini, 10/12/2010, Lombardi, 15/12/2010)
- [5] 02_H61_EG_995_KTB_D0700_15003 - Galleria di Base del Brennero - Progettazione esecutiva - D0700: Lotto Muls 2-3 - Opere generali - Sicurezza nei riguardi dell'esposizione al fuoco

6.4.2 Normen und Richtlinien

- [6] Technische Konstruktionsnormen 2008 – NTC 2008;
- [7] Leitfaden N.617, Vorgehensweise zur Anwendung der "Neue technische Konstruktionsnormen", laut MD 14.Januar 2008
- [8] DM 28/10/2005 Sicherheit für Bahntunnel
- [9] UNI EN1990:2006 - Eurocodice 0 – Grundlage für Konstruktion und Dokumentation zur nationalen Umsetzung ;
- [10] UNI EN 1991-1; Eurocode 1 – Actions on structures – 2010/2011
- [11] UNI EN 1992:2005 - Eurocodice 2 – Planung von für Stahlbetonbauwerke und Dokumente zur nationalen Umsetzung;
- [12] UNI EN 1997:2005 - Eurocodice 7 – Geotechnik und Dokumente zur nationalen Umsetzung
- [13] UNI EN 1992-1-2:2005 " Planung von Stahlbetonbauwerke Teil 1-2: Allgemeinregelung – Brandschutz Strukturplanung"
- [14] UNI 11076: 2003, "Testmodalitäten zur Bewertung des Benehmens der an den Decken von Untertagebauten angebrachten Schutzmaßnahmen in Brandfall"
- [15] D.M. 16.02.2007 "Feuerwiderstandsklassifizierung von Erzeugnisse und Bauelemente für Bauwerke"

6.4.3 Bibliografie

- [16] Ribacchi R., Riccioni R. – Stato di sforzo e di deformazione intorno ad una galleria circolare. Gallerie e grandi opere sotterranee, 1977.
- [17] Nguyen-Minh D., Guo C. – Recent progress in convergence confinement method", Eurock '96, pagg. 855-860.
- [18] Gamble J.C. – Durability-plasticity classification of shales. Ph. D. Thesis, University of Illinois, 1971.
- [19] Sakurai – Lessons Learned from Field Measurements in Tunneling. Tunneling and Underground Space Technology, 1997.
- [20] HOEK E., CARRANZA TORRES C., CORKUM B. – Hoek-Brown failure criterion. 2002
- [21] UNWEDGE-rocsience, Underground Wedge Stability Analysis Manual

6.4.2 Normativa e Linee Guida

- [6] Norme Tecniche delle Costruzioni 2008 – NTC 2008;
- [7] Circolare n.617, Istruzioni per l'applicazione delle "Nuove norme tecniche per le costruzioni" di cui al DM 14 gennaio 2008
- [8] DM 28/10/2005, Sicurezza nelle gallerie ferroviarie.
- [9] UNI EN1990:2006 - Eurocodice 0 – Basi per la progettazione strutturale e documento di applicazione nazionale3
- [10] UNI EN 1991-1; Eurocode 1 – Actions on structures – 2010/2011
- [11] UNI EN 1992:2005 - Eurocodice 2 – Progettazione delle strutture in calcestruzzo e documento di applicazione nazionale
- [12] UNI EN 1997:2005 - Eurocodice 7 – Progettazione geotecnica e documento di applicazione nazionale
- [13] UNI EN 1992-1-2:2005 "Progettazione delle strutture in calcestruzzo Parte 1-2: Regole generali - Progettazione strutturale contro l'incendio"
- [14] UNI 11076 del 1 luglio 2003, "Modalità di prova per la valutazione del comportamento di protettivi applicati a soffitti di opere sotterranee, in condizioni di incendi".
- [15] D.M. 16.02.2007 "Classificazione di resistenza al fuoco di prodotti ed elementi costruttivi di opere da costruzione"

6.4.3 Bibliografia

- [16] Ribacchi R., Riccioni R. – Stato di sforzo e di deformazione intorno ad una galleria circolare. Gallerie e grandi opere sotterranee, 1977.
- [17] Nguyen-Minh D., Guo C. – Recent progress in convergence confinement method", Eurock '96, pagg. 855-860.
- [18] Gamble J.C. – Durability-plasticity classification of shales. Ph. D. Thesis, University of Illinois, 1971.
- [19] Sakurai – Lessons Learned from Field Measurements in Tunneling. Tunneling and Underground Space Technology, 1997.
- [20] HOEK E., CARRANZA TORRES C., CORKUM B. – Hoek-Brown failure criterion. 2002
- [21] UNWEDGE-rocsience, Underground Wedge Stability Analysis Manual

- [22] Wang, J., 1993 - Seismic Design of Tunnels - A Simple State-of-the-Art Design
- [23] Hashash, Y., et al., 2001, - Seismic design and analysis of underground structures, Tunnelling and underground space technology 16, (247-293)
- [24] Pöttler, R. Die unbewehrte Innenschale im Felstunnelbau - Standsicherheit und Verformung im Reißbereich, Beton und Stahlbetonbau Heft 6, 1993
- [25] Pöttler, R. Standsicherheitsnachweis unbewehrter Innenschalen, Bautechnik 67, 1990

- [22] Wang, J., 1993 - Seismic Design of Tunnels - A Simple State-of-the-Art Design
- [23] Hashash, Y., et al., 2001, - Seismic design and analysis of underground structures, Tunnelling and underground space technology 16, (247-293)
- [24] Pöttler, R. Die unbewehrte Innenschale im Felstunnelbau - Standsicherheit und Verformung im Reißbereich, Beton und Stahlbetonbau Heft 6, 1993
- [25] Pöttler, R. Standsicherheitsnachweis unbewehrter Innenschalen, Bautechnik 67, 1990

ANHANG 1 - FEM-ANALYSE DER INNENSCHALE

Anhang 1 beinhaltet die graphischen Darstellungen der wichtigsten In- und Outputs der Innenschalenanalyse, die mit dem Programm SAP2000 durchgeführt wurden.

APPENDICE 1 - ANALISI FEM DEL RIVESTIMENTO DEFINITIVO

L'appendice 1 contiene le rappresentazioni grafiche dei principali input e output dell'analisi del rivestimento definitivo condotte con il programma SAP2000.

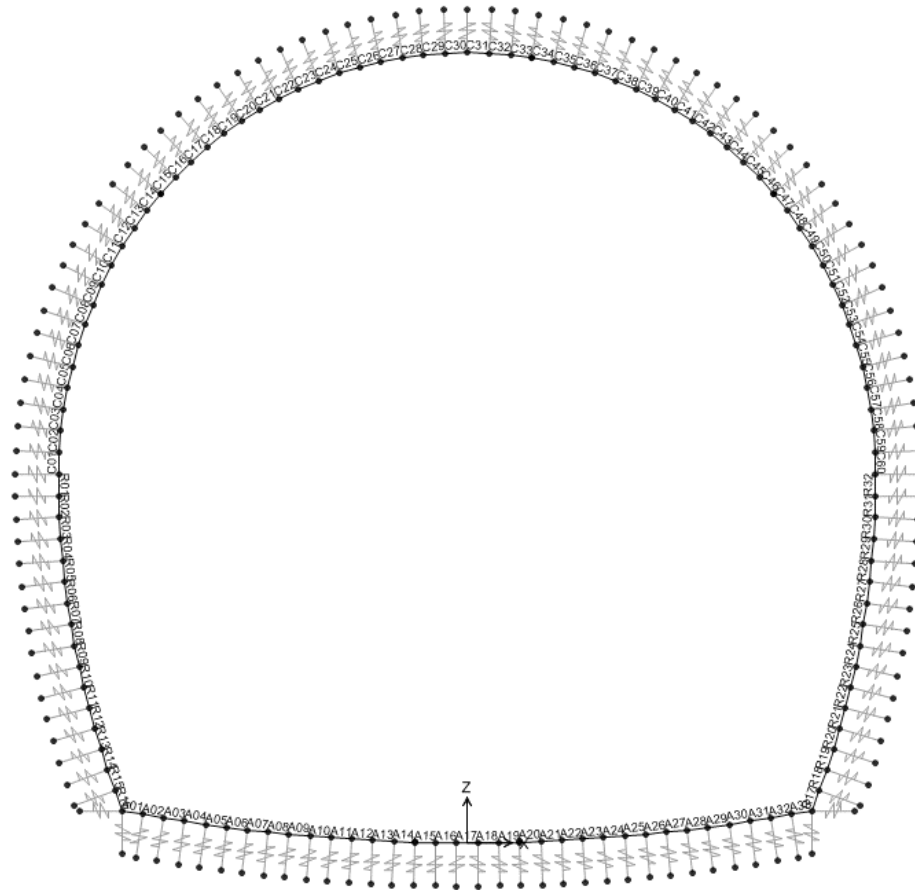


Abbildung 1: Modell MCV-E-T

Illustrazione 1: Modello MCV-E-T

SectionName	Material	Shape	t3
Text	Text	Text	m
C01	C30/37	Rectangular	0.71
C02	C30/37	Rectangular	0.71
C03	C30/37	Rectangular	0.71
C04	C30/37	Rectangular	0.71
C05	C30/37	Rectangular	0.71
C06	C30/37	Rectangular	0.7
C07	C30/37	Rectangular	0.7
C08	C30/37	Rectangular	0.7
C09	C30/37	Rectangular	0.7
C10	C30/37	Rectangular	0.7
C11	C30/37	Rectangular	0.7
C12	C30/37	Rectangular	0.7
C13	C30/37	Rectangular	0.7
C14	C30/37	Rectangular	0.7
C15	C30/37	Rectangular	0.7
C16	C30/37	Rectangular	0.7
C17	C30/37	Rectangular	0.7
C18	C30/37	Rectangular	0.7
C19	C30/37	Rectangular	0.7
C20	C30/37	Rectangular	0.7
C21	C30/37	Rectangular	0.7
C22	C30/37	Rectangular	0.7
C23	C30/37	Rectangular	0.7
C24	C30/37	Rectangular	0.7
C25	C30/37	Rectangular	0.7
C26	C30/37	Rectangular	0.7
C27	C30/37	Rectangular	0.7
C28	C30/37	Rectangular	0.7
C29	C30/37	Rectangular	0.7
C30	C30/37	Rectangular	0.7
C31	C30/37	Rectangular	0.7
C32	C30/37	Rectangular	0.7
C33	C30/37	Rectangular	0.7
C34	C30/37	Rectangular	0.7
C35	C30/37	Rectangular	0.7
C36	C30/37	Rectangular	0.7
C37	C30/37	Rectangular	0.7
C38	C30/37	Rectangular	0.7
C39	C30/37	Rectangular	0.7
C40	C30/37	Rectangular	0.7
C41	C30/37	Rectangular	0.7
C42	C30/37	Rectangular	0.7
C43	C30/37	Rectangular	0.7
C44	C30/37	Rectangular	0.7
C45	C30/37	Rectangular	0.7
C46	C30/37	Rectangular	0.7
C47	C30/37	Rectangular	0.7
C48	C30/37	Rectangular	0.7
C49	C30/37	Rectangular	0.7
C50	C30/37	Rectangular	0.7
C51	C30/37	Rectangular	0.7
C52	C30/37	Rectangular	0.7
C53	C30/37	Rectangular	0.7
C54	C30/37	Rectangular	0.7
C55	C30/37	Rectangular	0.7
C56	C30/37	Rectangular	0.71
C57	C30/37	Rectangular	0.71
C58	C30/37	Rectangular	0.71
C59	C30/37	Rectangular	0.71
C60	C30/37	Rectangular	0.71

Abbildung 2: Stärke der Ausbruchquerschnitte

SectionName	Material	Shape	t3
Text	Text	Text	m
R01	C30/37	Rectangular	0.7
R02	C30/37	Rectangular	0.71
R03	C30/37	Rectangular	0.71
R04	C30/37	Rectangular	0.73
R05	C30/37	Rectangular	0.74
R06	C30/37	Rectangular	0.76
R07	C30/37	Rectangular	0.78
R08	C30/37	Rectangular	0.8
R09	C30/37	Rectangular	0.83
R10	C30/37	Rectangular	0.86
R11	C30/37	Rectangular	0.9
R12	C30/37	Rectangular	0.94
R13	C30/37	Rectangular	0.98
R14	C30/37	Rectangular	1.03
R15	C30/37	Rectangular	1.08
R16	C30/37	Rectangular	0.86
R17	C30/37	Rectangular	0.86
R18	C30/37	Rectangular	1.08
R19	C30/37	Rectangular	1.03
R20	C30/37	Rectangular	0.98
R21	C30/37	Rectangular	0.94
R22	C30/37	Rectangular	0.9
R23	C30/37	Rectangular	0.86
R24	C30/37	Rectangular	0.83
R25	C30/37	Rectangular	0.8
R26	C30/37	Rectangular	0.78
R27	C30/37	Rectangular	0.76
R28	C30/37	Rectangular	0.74
R29	C30/37	Rectangular	0.73
R30	C30/37	Rectangular	0.71
R31	C30/37	Rectangular	0.71
R32	C30/37	Rectangular	0.7
A01	C30/37	Rectangular	0.94
A02	C30/37	Rectangular	0.94
A03	C30/37	Rectangular	0.82
A04	C30/37	Rectangular	0.82
A05	C30/37	Rectangular	0.92
A06	C30/37	Rectangular	1.02
A07	C30/37	Rectangular	1.11
A08	C30/37	Rectangular	1.19
A09	C30/37	Rectangular	1.26
A10	C30/37	Rectangular	1.31
A11	C30/37	Rectangular	1.38
A12	C30/37	Rectangular	1.43
A13	C30/37	Rectangular	1.47
A14	C30/37	Rectangular	1.48
A15	C30/37	Rectangular	1.53
A16	C30/37	Rectangular	1.54
A17	C30/37	Rectangular	1.55
A18	C30/37	Rectangular	1.54
A19	C30/37	Rectangular	1.53
A20	C30/37	Rectangular	1.48
A21	C30/37	Rectangular	1.47
A22	C30/37	Rectangular	1.43
A23	C30/37	Rectangular	1.38
A24	C30/37	Rectangular	1.31
A25	C30/37	Rectangular	1.26
A26	C30/37	Rectangular	1.19
A27	C30/37	Rectangular	1.11
A28	C30/37	Rectangular	1.02
A29	C30/37	Rectangular	0.92
A30	C30/37	Rectangular	0.82
A31	C30/37	Rectangular	0.82
A32	C30/37	Rectangular	0.94
A33	C30/37	Rectangular	0.94

Illustrazione 2: Spessore delle sezioni

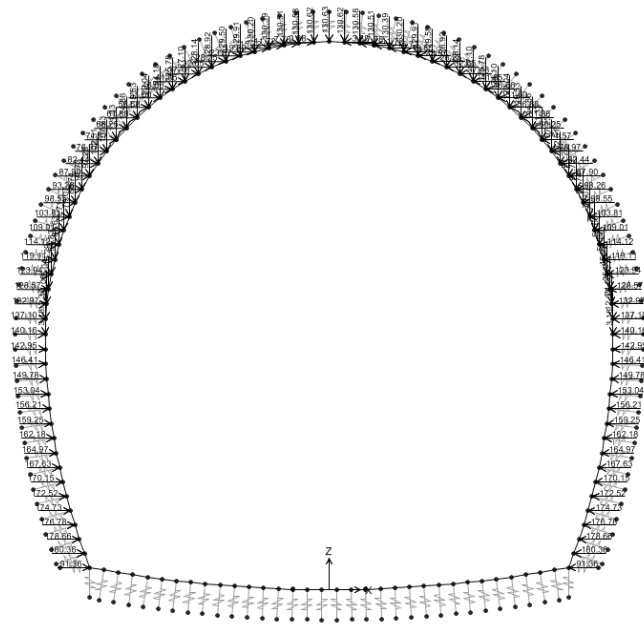


Abbildung 3: Gebirgslast (G5)

Illustrazione 3: Carico della roccia G5

In Folge wird der Belastungsverlauf im Ausbruchquerschnitt bei der gravierendste Kombination GZT06 aufgezeigt

Di seguito viene riportato l'andamento delle sollecitazioni nella sezione nella combinazione più gravosa: SLU06

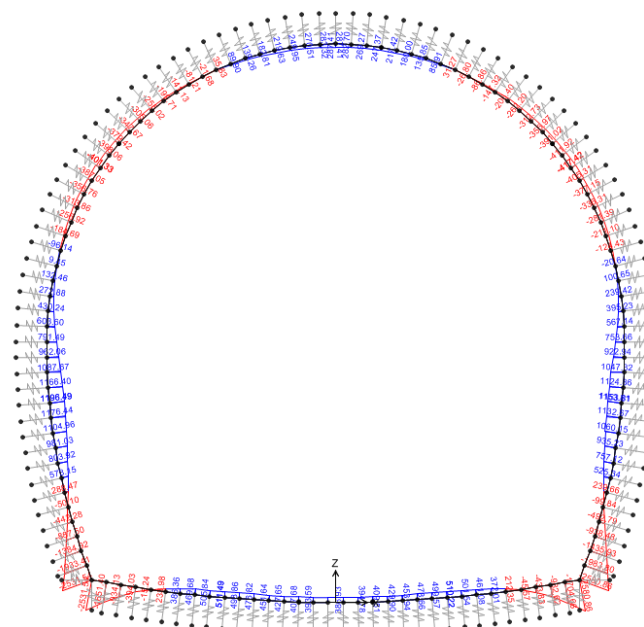


Abbildung 4: GZT06 - Biegemoment

Illustrazione 4: SLU06 - Momento flettente

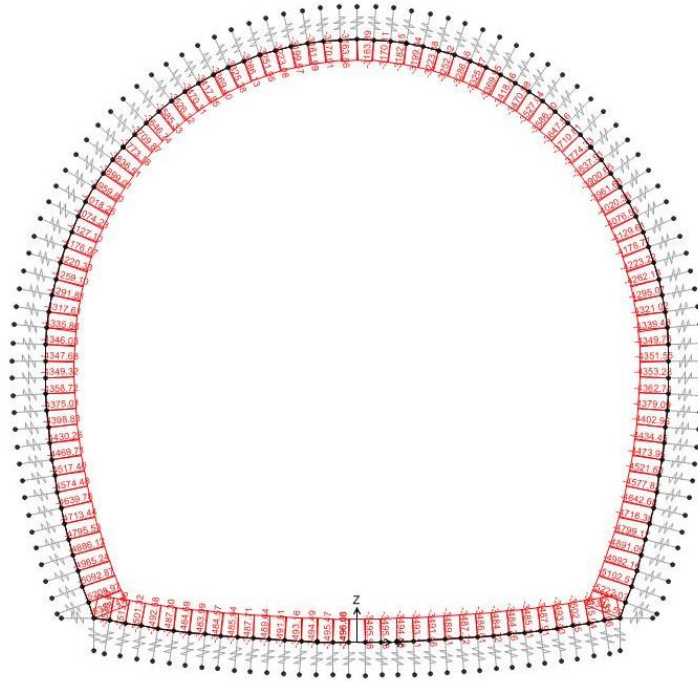


Abbildung 5: GZT06 - Axialwirkung

Illustrazione 5: SLU06 - Azione assiale

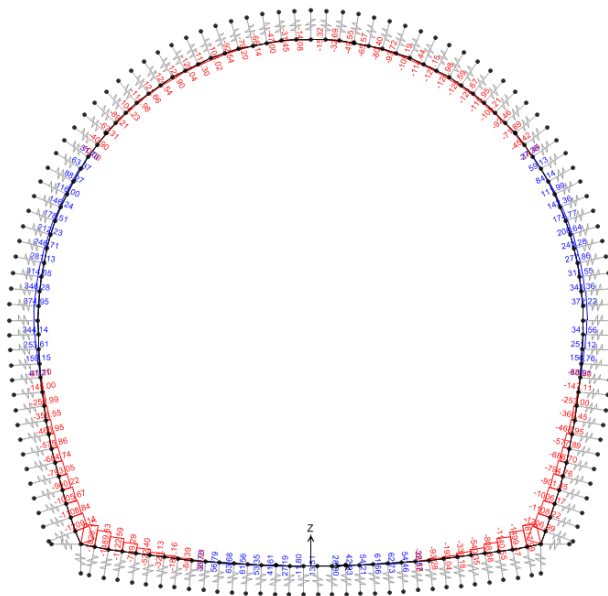


Abbildung 6: GZT06 - Schub

Illustrazione 6: SLU06 - Taglio

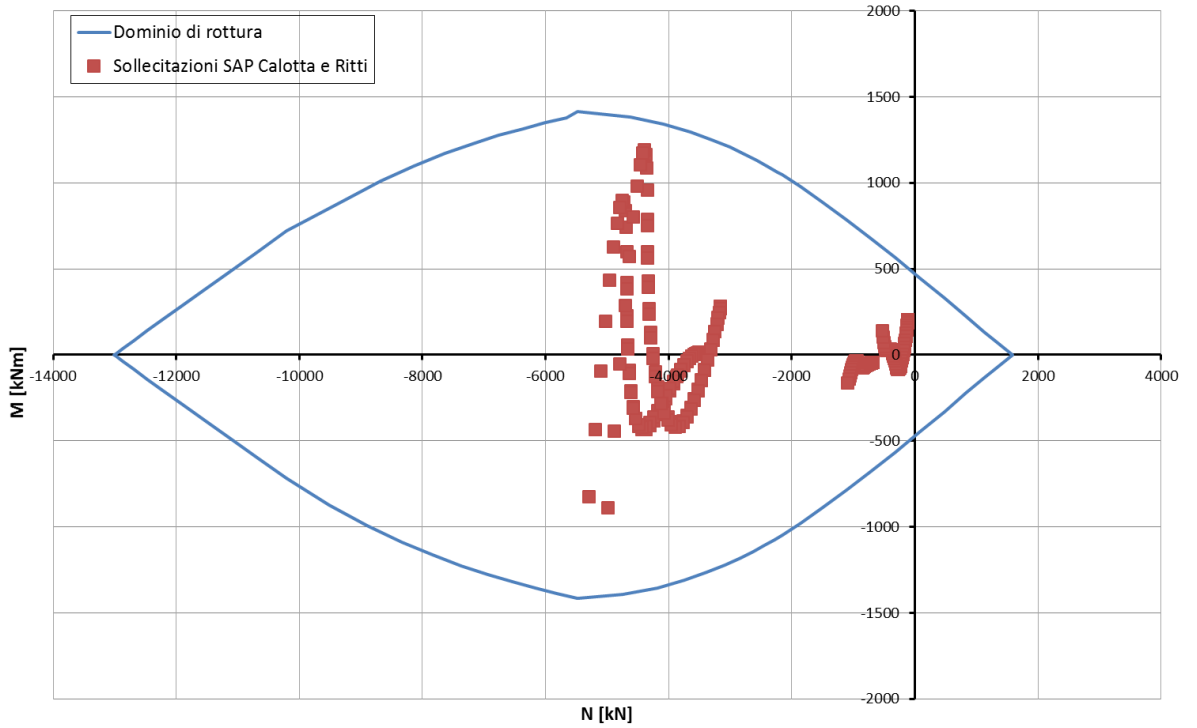


Abbildung 7: Überprüfung auf Beulspannung der Kappe und der Widerlager (GZT)

Illustrazione 7: Verifica a pressoflessione Calotta e Ritti (SLU)

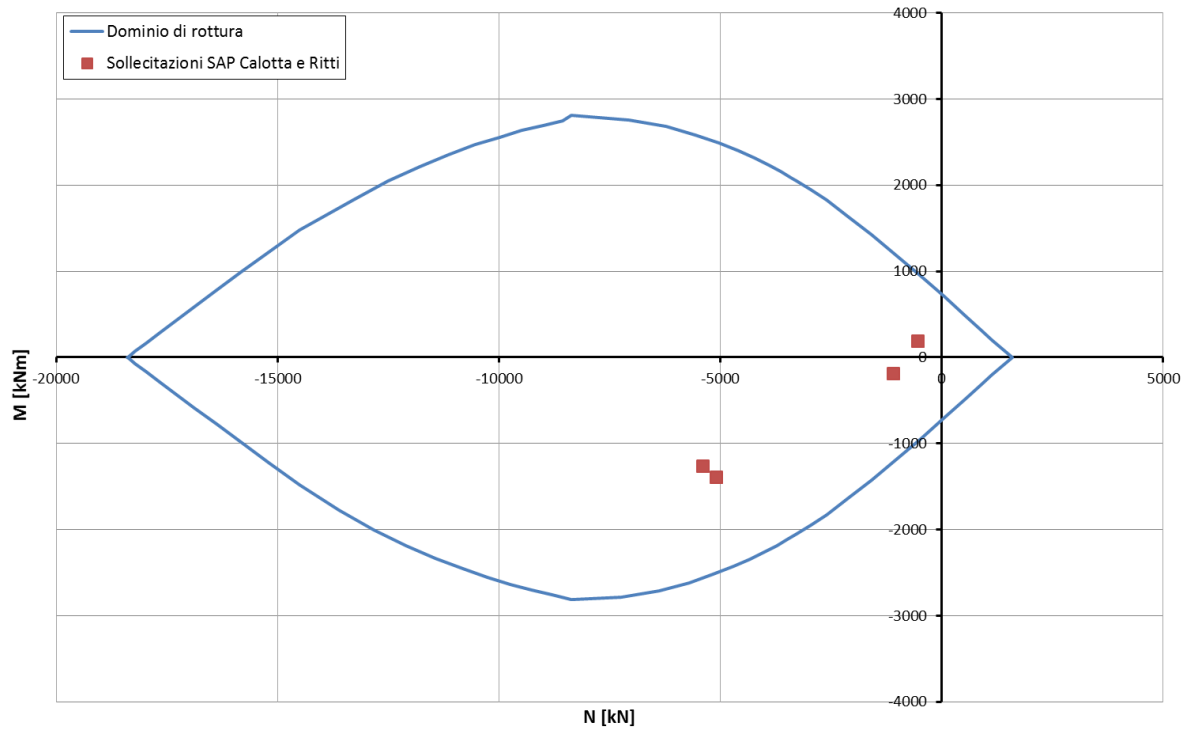


Abbildung 8: Überprüfung auf Beulspannung des Widerlagerfußes (GZT)

Illustrazione 8: Verifica a pressoflessione base Ritti (SLU)

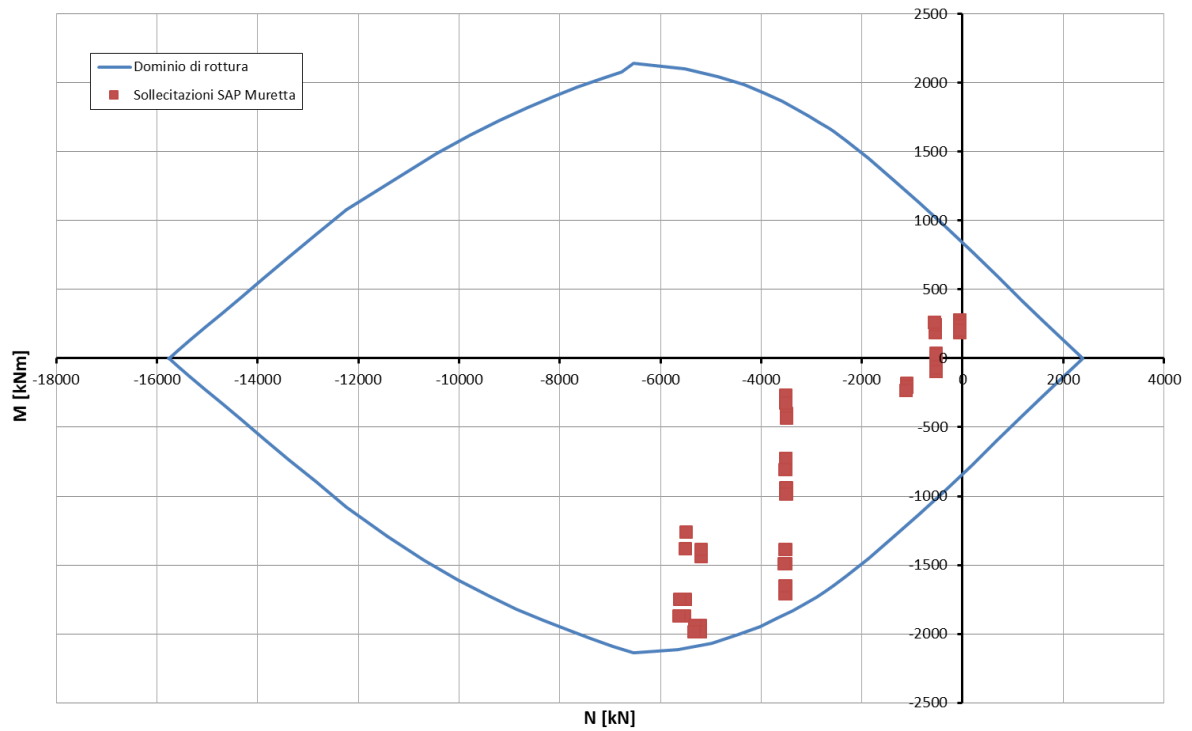


Abbildung 9: Überprüfung auf Beulspannung des Tunnelbogenaufsatzes (GZT)

Illustrazione 9: Verifica a pressoflessione Muretta(SLU)

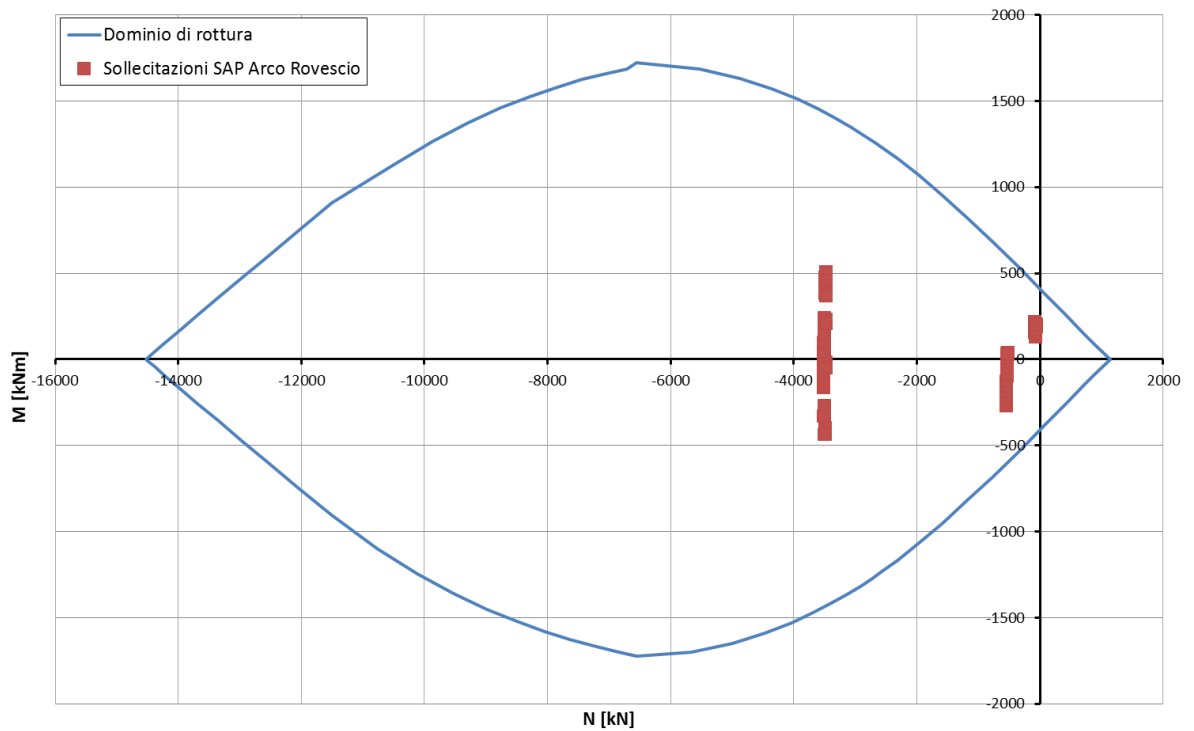


Abbildung 10: Überprüfung auf Beulspannung des Gegengewölbes (GZT)

Illustrazione 10: Verifica a pressoflessione Arco rovescio(SLU)

VERIFICHE A TAGLIO SECONDO D.M. 14/01/2008 (§ 4.1.2.1.3)

Caratteristiche dei materiali:

Resistenza caratteristica a compressione cubica cls	R_{ck}	=	37	N/mm ²
Resistenza caratteristica a compressione cilindrica cls	f_{ck}	=	31	N/mm ²
Resistenza di calcolo a compressione del cls	f_{cd}	=	16.31	N/mm ²
Resistenza di calcolo a trazione dell'acciaio	f_{yd}	=	375.00	N/mm ²

Sollecitazioni di verifica (S.L.U.):

Valore di calcolo dello sforzo di taglio agente	V_{Ed}	=	1127.40	kN
Valore di calcolo della forza assiale associata a V_{Ed}	$N(V_{Ed})$	=	3500.20	kN
Valore di calcolo del momento flettente associato a V_{Ed}	$M(V_{Ed})$	=	0.00	kNm

Caratteristiche geometriche della sezione:

Altezza utile della sezione	d	=	813	mm
Larghezza minima della sezione	b_w	=	1000	mm

Armatura della sezione in zona tesa:

Diametro ferri longitudinali	\emptyset	=	18	mm
Numero tondini longitudinali utilizzati	n	=	6.0	--
Area totale di armatura longitudinale in zona tesa	A_{sl}	=	1524	mm ²
Rapporto geometrico dell'armatura longitudinale (≤ 0.02)	ρ_l	=	0.0019	--

VERIFICA SENZA ARMATURA TRASVERSALE RESISTENTE A TAGLIO (§ 4.1.2.1.3.1)

Fattore dipendente dall'altezza utile della sezione (≤ 2)	k	=	1.50	--
Tensione dipendente dal fattore k e dalla resistenza del cls	v_{min}	=	0.35	N/mm ²
Tensione media di compressione nella sezione ($\leq 0.2 \times f_{cd}$)	σ_{cp}	=	3.26	N/mm ²
Resistenza ultima a taglio minima	$V_{Rd,min}$	=	686.37	kN
Resistenza ultima a taglio ($V_{Rd} \geq V_{Rd,min}$)	V_{Rd}	=	686.37	kN

VERIFICA NON SODDISFATTA:

occorre procedere al dimensionamento dell'armatura trasversale resistente a taglio.

VERIFICA CON ARMATURA TRASVERSALE RESISTENTE A TAGLIO (§ 4.1.2.1.3.2)

Armatura aggiuntiva resistente a taglio:

Angolo di inclinazione armatura trasv. su asse dell'elemento	α	=	90	°
Diametro ferri a taglio	\emptyset_{sw}	=	12	mm
Numero dei bracci in sezione trasversale	n_{sw}	=	6.0	--
Passo in direzione asse elemento	s	=	400	mm
Area totale di armatura a taglio	A_{sw}	=	678	mm ²

Fattori di resistenza a compressione:

Controllo duttilità (SI = duttile)	0.64	<	10.20	SI
Angolo di inclinazione dei puntoni di cls	θ	=	22.00	°
Resistenza a compressione ridotta del cls d'anima	f'_{cd}	=	8.16	N/mm ²
Tensione media di compressione nella sezione	σ_{cp}	=	4.31	N/mm ²
Coefficiente maggiorativo per membrature compresse	α_c	=	1.25	--

Resistenza di calcolo a "taglio trazione" dell'armatura	V_{Rsd}	=	1150.99	kN
Resistenza di calcolo a "taglio compressione" del cls	V_{Rcd}	=	2591.07	kN
Resistenza ultima a taglio	V_{Rd}	=	1150.99	kN

VERIFICA SODDISFATTA.

Abbildung 11: Querkraftüberprüfung des Gegengewölbes (GZT)

Illustrazione 11: Verifica a taglio primi elementi dell'arco rovescio(SLU)

VERIFICHE A TAGLIO SECONDO D.M. 14/01/2008 (§ 4.1.2.1.3)

Caratteristiche dei materiali:

Resistenza caratteristica a compressione cubica cls	R_{ck}	=	37	N/mm ²
Resistenza caratteristica a compressione cilindrica cls	f_{ck}	=	31	N/mm ²
Resistenza di calcolo a compressione del cls	f_{cd}	=	16.31	N/mm ²
Resistenza di calcolo a trazione dell'acciaio	f_{yd}	=	375.00	N/mm ²

Sollecitazioni di verifica (S.L.U.):

Valore di calcolo dello sforzo di taglio agente	V_{Ed}	=	1826.00	kN
Valore di calcolo della forza assiale associata a V_{Ed}	$N(V_{Ed})$	=	3529.00	kN
Valore di calcolo del momento flettente associato a V_{Ed}	$M(V_{Ed})$	=	0.00	kNm

Caratteristiche geometriche della sezione:

Altezza utile della sezione	d	=	813	mm
Larghezza minima della sezione	b_w	=	1000	mm

Armatura della sezione in zona tesa:

Diametro ferri longitudinali	\varnothing	=	26	mm
Numero tondini longitudinali utilizzati	n	=	6.0	--
Area totale di armatura longitudinale in zona tesa	A_{sl}	=	3186	mm ²
Rapporto geometrico dell'armatura longitudinale (≤ 0.02)	ρ_l	=	0.0039	--

VERIFICA SENZA ARMATURA TRASVERSALE RESISTENTE A TAGLIO (§ 4.1.2.1.3.1)

Fattore dipendente dall'altezza utile della sezione (≤ 2)	k	=	1.50	--
Tensione dipendente dal fattore k e dalla resistenza del cls	v_{min}	=	0.35	N/mm ²
Tensione media di compressione nella sezione ($\leq 0.2 \times f_{cd}$)	σ_{cp}	=	3.26	N/mm ²
Resistenza ultima a taglio minima	$V_{Rd,min}$	=	686.07	kN
Resistenza ultima a taglio ($V_{Rd} \geq V_{Rd,min}$)	V_{Rd}	=	732.03	kN

VERIFICA NON SODDISFATTA:

occorre procedere al dimensionamento dell'armatura trasversale resistente a taglio.

VERIFICA CON ARMATURA TRASVERSALE RESISTENTE A TAGLIO (§ 4.1.2.1.3.2)

Armatura aggiuntiva resistente a taglio:

Angolo di inclinazione armatura trasv. su asse dell'elemento	α	=	90	°
Diametro ferri a taglio	\varnothing_{sw}	=	12	mm
Numero dei bracci in sezione trasversale	n_{sw}	=	6.0	--
Passo in direzione asse elemento	s	=	250	mm
Area totale di armatura a taglio	A_{sw}	=	678	mm ²

Fattori di resistenza a compressione:

Controllo duttilità (SI = duttile)	1.02	<	10.20	SI
Angolo di inclinazione dei puntoni di cls	θ	=	22.00	°
Resistenza a compressione ridotta del cls d'anima	f'_{cd}	=	8.16	N/mm ²
Tensione media di compressione nella sezione	σ_{cp}	=	4.34	N/mm ²
Coefficiente maggiorativo per membrature compresse	α_c	=	1.25	--

Resistenza di calcolo a "taglio trazione" dell'armatura	V_{Rsd}	=	1840.68	kN
Resistenza di calcolo a "taglio compressione" del cls	V_{Rcd}	=	2589.80	kN
Resistenza ultima a taglio	V_{Rd}	=	1840.68	kN

VERIFICA SODDISFATTA.

Abbildung 12: Querkraftüberprüfung des Tunnelbogenaufsatzes (GZT)

Illustrazione 12: Verifica a taglio muretta (SLU)

VERIFICHE A TAGLIO SECONDO D.M. 14/01/2008 (§ 4.1.2.1.3)

Caratteristiche dei materiali:

Resistenza caratteristica a compressione cubica cls	R_{ck}	=	37	N/mm ²
Resistenza caratteristica a compressione cilindrica cls	f_{ck}	=	31	N/mm ²
Resistenza di calcolo a compressione del cls	f_{cd}	=	16.31	N/mm ²
Resistenza di calcolo a trazione dell'acciaio	f_{yd}	=	375.00	N/mm ²

Sollecitazioni di verifica (S.L.U.):

Valore di calcolo dello sforzo di taglio agente	V_{Ed}	=	1006.70	kN
Valore di calcolo della forza assiale associata a V_{Ed}	$N(V_{Ed})$	=	5086.00	kN
Valore di calcolo del momento flettente associato a V_{Ed}	$M(V_{Ed})$	=	0.00	kNm

Caratteristiche geometriche della sezione:

Altezza utile della sezione	d	=	1023	mm
Larghezza minima della sezione	b_w	=	1000	mm

Armatura della sezione in zona tesa:

Diametro ferri longitudinali	\varnothing	=	26	mm
Numero tondini longitudinali utilizzati	n	=	4.0	--
Area totale di armatura longitudinale in zona tesa	A_{sl}	=	2124	mm ²
Rapporto geometrico dell'armatura longitudinale (≤ 0.02)	ρ_l	=	0.0021	--

VERIFICA SENZA ARMATURA TRASVERSALE RESISTENTE A TAGLIO (§ 4.1.2.1.3.1)

Fattore dipendente dall'altezza utile della sezione (≤ 2)	k	=	1.44	--
Tensione dipendente dal fattore k e dalla resistenza del cls	v_{min}	=	0.34	N/mm ²
Tensione media di compressione nella sezione ($\leq 0.2 \times f_{cd}$)	σ_{cp}	=	3.26	N/mm ²
Resistenza ultima a taglio minima	$V_{Rd,min}$	=	844.34	kN
Resistenza ultima a taglio ($V_{Rd} \geq V_{Rd,min}$)	V_{Rd}	=	844.34	kN

VERIFICA NON SODDISFATTA:

occorre procedere al dimensionamento dell'armatura trasversale resistente a taglio.

VERIFICA CON ARMATURA TRASVERSALE RESISTENTE A TAGLIO (§ 4.1.2.1.3.2)

Armatura aggiuntiva resistente a taglio:

Angolo di inclinazione armatura trasv. su asse dell'elemento	α	=	90	°
Diametro ferri a taglio	\varnothing_{sw}	=	12	mm
Numero dei bracci in sezione trasversale	n_{sw}	=	4.0	--
Passo in direzione asse elemento	s	=	300	mm
Area totale di armatura a taglio	A_{sw}	=	452	mm ²

Fattori di resistenza a compressione:

Controllo duttilità (SI = duttile)	0.57	<	10.20	SI
Angolo di inclinazione dei puntoni di cls	θ	=	22.00	°
Resistenza a compressione ridotta del cls d'anima	f'_{cd}	=	8.16	N/mm ²
Tensione media di compressione nella sezione	σ_{cp}	=	4.97	N/mm ²
Coefficiente maggiorativo per membrature compresse	α_c	=	1.25	--

Resistenza di calcolo a "taglio trazione" dell'armatura	V_{Rsd}	=	1287.53	kN
Resistenza di calcolo a "taglio compressione" del cls	V_{Rcd}	=	3260.76	kN
Resistenza ultima a taglio	V_{Rd}	=	1287.53	kN

VERIFICA SODDISFATTA.

Abbildung 13: Querkraftüberprüfung der ersten Widerlagerelemente (GZT)

Illustrazione 13: Verifica a taglio primi elementi del ritto (SLU)

STRESS CHARACTERISTICS SLS			MCV-E-T
Design value of Axial Force	N_{Sd}	[kN]	-3778
Design value of Bending Moment	M_{Sd}	[kNm]	-1049
Design value of Shear Force	T_{Sd}	[kN]	0.00
STRESS LIMITATION SERVICEABILITY LIMIT STATE			MCV-E-T
Overall depth of the cross section	h	[mm]	1030
Minimum width of the cross section in the tensile area	b_w	[mm]	1000
Effective depth of the cross section	d	[mm]	955.0
Neutral axis depth	x	[mm]	781.0
Maximum concrete stress (- = compression)	σ_c	[N/mm ²]	-9.20
Minimum concrete stress (- = compression)	σ_{c1}	[N/mm ²]	0.00
Maximum steel stress (+ = tension)	σ_s	[N/mm ²]	28.34
Minimum steel stress (+ = tension)	σ_{s1}	[N/mm ²]	0.00
Concrete limit stress	$\sigma_{c,lim}$	[N/mm ²]	-18.43
Steel limit stress	$\sigma_{s,lim}$	[N/mm ²]	360.00
VERIFICATION RESULT			OK
STRESS LIMITATION SERVICEABILITY LIMIT STATE			MCV-E-T
Characteristic compressive cylinder strength of concrete at 28 days	f_{ck}	[N/mm ²]	30.71
Mean value of axial tensile strength of concrete ($=0.3f_{ck}^{2/3}$ per C≤C50/60)	f_{ctm}	[N/mm ²]	2.942
Characteristic axial tensile strength of concrete ($=0.7f_{ctm}$)	f_{ctk}	[N/mm ²]	2.059
Partial factor of concrete	γ_c	[-]	1.000
Design tensile resistance of concrete	f_{ctd}	[N/mm ²]	2.059
Main value of tensile strength of the concrete in the effective tension area (f_{ctm})	$f_{ct,eff}$	[N/mm ²]	2.942
Elastic modulus of reinforcing steel	E_s	[N/mm ²]	210000
Secant elastic modulus of concrete	E_{cm}	[N/mm ²]	32000
= E_s/E_{cm}	α_e	[-]	6.56
Factor depending on the duration of the load (0.60: short term - 0.40: long term)	k_t	[-]	0.40
Effective tension area of concrete	$A_{c,eff}$	[mm ²]	83000
Number of rebar in tension area	n_l	[-]	4.0
Rebar main diameter	ϕ_l	[mm]	26
Cross section area of reinforcement in $A_{c,eff}$	A_{sl}	[mm ²]	2124
= $A_s/A_{c,eff}$	$\rho_{p,eff}$	[-]	0.0256
Main strain	$\epsilon_{sm} \cdot \epsilon_{cm}$	‰	0.081
Rebar cover	c	[mm]	62
Rebar spacing	s	[mm]	250
Bond factor (0.80: high bond bars - 1.60: plain bars)	k_1	[-]	0.80
Factor which takes account of the distribution of strain (0.50 bending - 1.00 tension)	k_2	[-]	0.50
Coefficient for $S_{r,max}$	k_3	[-]	3.40
Coefficient for $S_{r,max}$	k_4	[-]	0.425
Maximum crack spacing	$S_{r,max}$	[mm]	383.54
Crack width	w_k	[mm]	0.031
Crack width limit	w_{lim}	[mm]	0.300
VERIFICATION RESULT			OK

Abbildung 14: Rissüberprüfung des Widerlagerfußes (GZG)

Illustrazione 14: Verifica fessurazione base del ritto (SLE)

STRESS CHARACTERISTICS SLS			MCV-E-T
Design value of Axial Force	N_{Sd}	[kN]	-3960
Design value of Bending Moment	M_{Sd}	[kNm]	-1897
Design value of Shear Force	T_{Sd}	[kN]	0.00
STRESS LIMITATION SERVICEABILITY LIMIT STATE			MCV-E-T
Overall depth of the cross section	h	[mm]	820
Minimum width of the cross section in the tensile area	b_w	[mm]	1000
Effective depth of the cross section	d	[mm]	745.0
Neutral axis depth	x	[mm]	427.9
Maximum concrete stress (- = compression)	σ_c	[N/mm ²]	-18.20
Minimum concrete stress (- = compression)	σ_{c1}	[N/mm ²]	0.00
Maximum steel stress (+ = tension)	σ_s	[N/mm ²]	185.60
Minimum steel stress (+ = tension)	σ_{s1}	[N/mm ²]	0.00
Concrete limit stress	$\sigma_{c,lim}$	[N/mm ²]	-18.43
Steel limit stress	$\sigma_{s,lim}$	[N/mm ²]	360.00
VERIFICATION RESULT			OK
STRESS LIMITATION SERVICEABILITY LIMIT STATE			MCV-E-T
Characteristic compressive cylinder strength of concrete at 28 days	f_{ck}	[N/mm ²]	30.71
Mean value of axial tensile strength of concrete ($=0.3f_{ck}^{2/3}$ per C≤C50/60)	f_{ctm}	[N/mm ²]	2.942
Characteristic axial tensile strength of concrete ($=0.7f_{ctm}$)	f_{ctk}	[N/mm ²]	2.059
Partial factor of concrete	γ_c	[-]	1.000
Design tensile resistance of concrete	f_{ctd}	[N/mm ²]	2.059
Main value of tensile strength of the concrete in the effective tension area (f_{ctm})	$f_{ct,eff}$	[N/mm ²]	2.942
Elastic modulus of reinforcing steel	E_s	[N/mm ²]	210000
Secant elastic modulus of concrete $= E_s/E_{cm}$	E_{cm}	[N/mm ²]	32000
Factor depending on the duration of the load (0.60: short term - 0.40: long term)	α_e	[-]	6.56
Effective tension area of concrete	k_t	[-]	0.40
Number of rebar in tension area	$A_{c,eff}$	[mm ²]	130700
Rebar main diameter	n_l	[-]	6.0
Cross section area of reinforcement in $A_{c,eff}$ $= A_s/A_{c,eff}$	ϕ_l	[mm]	26
Main strain	A_{sl}	[mm ²]	3186
Rebar cover	$\rho_{p,eff}$	[-]	0.0244
Rebar spacing	$\epsilon_{sm}-\epsilon_{cm}$	‰	0.617
Bond factor (0.80: high bond bars - 1.60: plain bars)	c	[mm]	62
Factor which takes account of the distribution of strain (0.50 bending - 1.00 tension)	s	[mm]	167
Coefficient for $S_{r,max}$	k_1	[-]	0.80
Coefficient for $S_{r,max}$	k_2	[-]	0.50
Maximum crack spacing	k_3	[-]	3.40
Crack width	k_4	[-]	0.425
Crack width limit	$S_{r,max}$	[mm]	392.15
	w_k	[mm]	0.242
	w_{lim}	[mm]	0.300
VERIFICATION RESULT			OK

Abbildung 15: Rissüberprüfung des Tunnelbogenaufsatzes (GZG) Illustrazione 15: Verifica fessurazione muretta (SLE)

STRESS CHARACTERISTICS SLS			MCV-E-T
Design value of Axial Force	N_{sd}	[kN]	-3270
Design value of Bending Moment	M_{sd}	[kNm]	891
Design value of Shear Force	T_{sd}	[kN]	0.00
STRESS LIMITATION SERVICEABILITY LIMIT STATE			MCV-E-T
Overall depth of the cross section	h	[mm]	700
Minimum width of the cross section in the tensile area	b_w	[mm]	1000
Effective depth of the cross section	d	[mm]	625.0
Neutral axis depth	x	[mm]	386.0
Maximum concrete stress (- = compression)	σ_c	[N/mm ²]	-16.40
Minimum concrete stress (- = compression)	σ_{c1}	[N/mm ²]	0.00
Maximum steel stress (+ = tension)	σ_s	[N/mm ²]	139.70
Minimum steel stress (+ = tension)	σ_{s1}	[N/mm ²]	0.00
Concrete limit stress	$\sigma_{c,lim}$	[N/mm ²]	-18.43
Steel limit stress	$\sigma_{s,lim}$	[N/mm ²]	360.00
VERIFICATION RESULT			OK
STRESS LIMITATION SERVICEABILITY LIMIT STATE			MCV-E-T
Characteristic compressive cylinder strength of concrete at 28 days	f_{ck}	[N/mm ²]	30.71
Mean value of axial tensile strength of concrete ($=0.3f_{ck}^{2/3}$ per C≤C50/60)	f_{ctm}	[N/mm ²]	2.942
Characteristic axial tensile strength of concrete ($=0.7f_{ctm}$)	f_{ctk}	[N/mm ²]	2.059
Partial factor of concrete	γ_c	[-]	1.000
Design tensile resistance of concrete	f_{ctd}	[N/mm ²]	2.059
Main value of tensile strength of the concrete in the effective tension area (f_{ctm})	$f_{ct,eff}$	[N/mm ²]	2.942
Elastic modulus of reinforcing steel	E_s	[N/mm ²]	210000
Secant elastic modulus of concrete	E_{cm}	[N/mm ²]	32000
$= E_s/E_{cm}$	α_e	[-]	6.56
Factor depending on the duration of the load (0.60: short term - 0.40: long term)	k_t	[-]	0.40
Effective tension area of concrete	$A_{c,eff}$	[mm ²]	104667
Number of rebar in tension area	n_l	[-]	4.0
Rebar main diameter	ϕ_l	[mm]	26
Cross section area of reinforcement in $A_{c,eff}$	A_{sl}	[mm ²]	2124
$= A_s/A_{c,eff}$	$\rho_{p,eff}$	[-]	0.0203
Main strain	$\epsilon_{sm} \cdot \epsilon_{cm}$	‰	0.399
Rebar cover	c	[mm]	62
Rebar spacing	s	[mm]	250
Bond factor (0.80: high bond bars - 1.60: plain bars)	k_1	[-]	0.80
Factor which takes account of the distribution of strain (0.50 bending - 1.00 tension)	k_2	[-]	0.50
Coefficient for $S_{r,max}$	k_3	[-]	3.40
Coefficient for $S_{r,max}$	k_4	[-]	0.425
Maximum crack spacing	$S_{r,max}$	[mm]	428.64
Crack width	w_k	[mm]	0.171
Crack width limit	w_{lim}	[mm]	0.300
VERIFICATION RESULT			OK

Abbildung 16: Rissüberprüfung der Kappe und des Widerlagers (GZG)

Illustrazione 16: Verifica fessurazione calotta e ritto (SLE)

STRESS CHARACTERISTICS SLS			MCV-E-T
Design value of Axial Force	N_{sd}	[kN]	-2591
Design value of Bending Moment	M_{sd}	[kNm]	716
Design value of Shear Force	T_{sd}	[kN]	0.00
STRESS LIMITATION SERVICEABILITY LIMIT STATE			MCV-E-T
Overall depth of the cross section	h	[mm]	820
Minimum width of the cross section in the tensile area	b_w	[mm]	1000
Effective depth of the cross section	d	[mm]	745.0
Neutral axis depth	x	[mm]	493.6
Maximum concrete stress (- = compression)	σ_c	[N/mm ²]	-10.20
Minimum concrete stress (- = compression)	σ_{c1}	[N/mm ²]	0.00
Maximum steel stress (+ = tension)	σ_s	[N/mm ²]	71.80
Minimum steel stress (+ = tension)	σ_{s1}	[N/mm ²]	0.00
Concrete limit stress	$\sigma_{c,lim}$	[N/mm ²]	-18.43
Steel limit stress	$\sigma_{s,lim}$	[N/mm ²]	360.00
VERIFICATION RESULT			OK
STRESS LIMITATION SERVICEABILITY LIMIT STATE			MCV-E-T
Characteristic compressive cylinder strength of concrete at 28 days	f_{ck}	[N/mm ²]	30.71
Mean value of axial tensile strength of concrete ($=0.3f_{ck}^{2/3}$ per C<C50/60)	f_{ctm}	[N/mm ²]	2.942
Characteristic axial tensile strength of concrete ($=0.7f_{ctm}$)	f_{ctk}	[N/mm ²]	2.059
Partial factor of concrete	γ_c	[-]	1.000
Design tensile resistance of concrete	f_{ctd}	[N/mm ²]	2.059
Main value of tensile strength of the concrete in the effective tension area (f_{ctm})	$f_{ct,eff}$	[N/mm ²]	2.942
Elastic modulus of reinforcing steel	E_s	[N/mm ²]	210000
Secant elastic modulus of concrete	E_{cm}	[N/mm ²]	32000
$= E_s/E_{cm}$	α_e	[-]	6.56
Factor depending on the duration of the load (0.60: short term - 0.40: long term)	k_t	[-]	0.40
Effective tension area of concrete	$A_{c,eff}$	[mm ²]	108800
Number of rebar in tension area	n_l	[-]	6.0
Rebar main diameter	ϕ_l	[mm]	18
Cross section area of reinforcement in $A_{c,eff}$	A_{sl}	[mm ²]	1527
$= A_s/A_{c,eff}$	$\rho_{p,eff}$	[-]	0.0140
Main strain	$\epsilon_{sm}-\epsilon_{cm}$	‰	0.205
Rebar cover	c	[mm]	62
Rebar spacing	s	[mm]	167
Bond factor (0.80: high bond bars - 1.60: plain bars)	k_1	[-]	0.80
Factor which takes account of the distribution of strain (0.50 bending - 1.00 tension)	k_2	[-]	0.50
Coefficient for $S_{r,max}$	k_3	[-]	3.40
Coefficient for $S_{r,max}$	k_4	[-]	0.425
Maximum crack spacing	$S_{r,max}$	[mm]	428.85
Crack width	w_k	[mm]	0.088
Crack width limit	w_{lim}	[mm]	0.300
VERIFICATION RESULT			OK

Abbildung 17: Rissüberprüfung des Gegengewölbes (GZG)

In folgenden Abbildungen sind die strukturellen Überprüfungen der Ausbruchquerschnitte auf Feuerwiderstand aufgezeigt. Die Überprüfungen wurden, durch Vergleichung der Belastungen mit dem Bereich der auf 5 cm reduzierten Ausbruchquerschnitten (dem Feuer ausgesetzten Beton) oder mit dem Bereich der durch 20% herabgesetzten Bewehrungswiderstand erreicht wurde (Spannbeton an der Laibung), durchgeführt.

Illustrazione 17: Verifica fessurazione arco rovescio (SLE)

Nelle seguenti illustrazioni sono riportate le verifiche strutturali delle sezioni nei confronti dell'esposizione al fuoco. Le verifiche sono state condotte confrontando le sollecitazioni con il dominio delle sezioni ridotte di 5cm (cls esposto al fuoco) o con il dominio ottenuto riducendo la resistenza dell'armatura del 20% (cls teso all'intradosso).

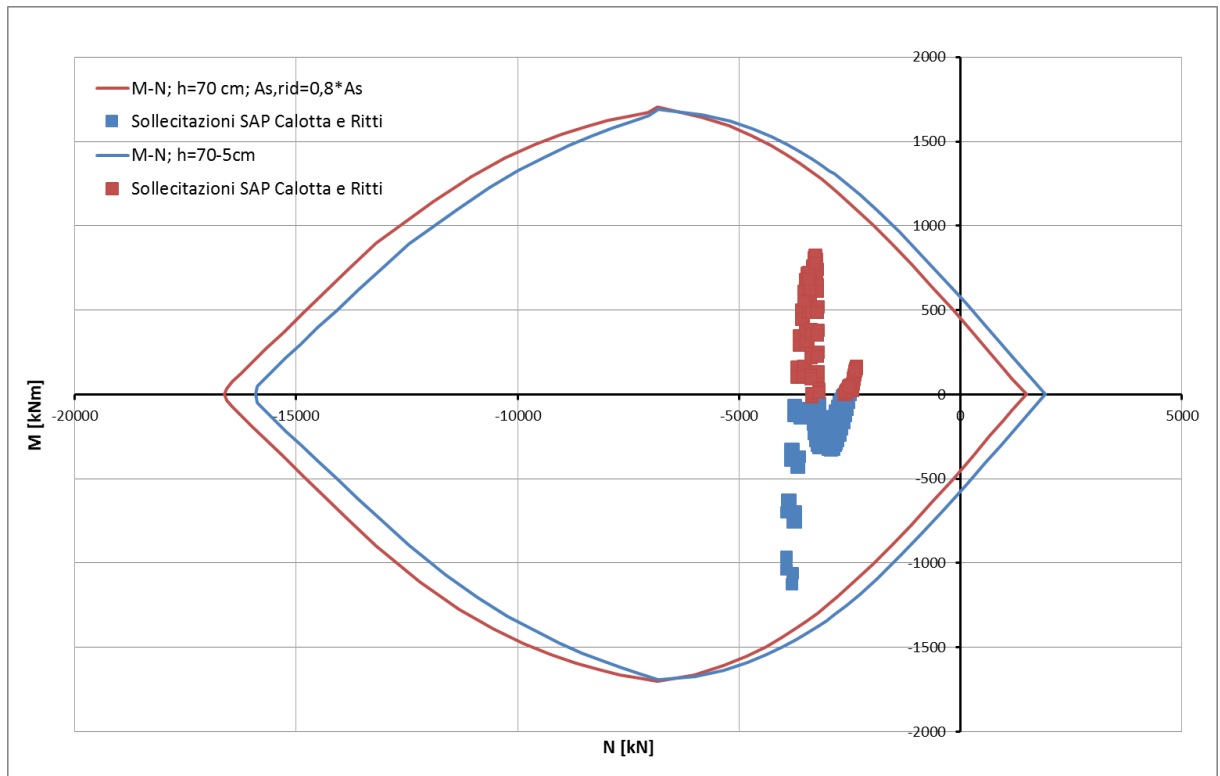


Abbildung 18: Überprüfung auf Beulspannung der Kappen und Widerlager (GZT) bzgl. Brand

Illustrazione 18: Verifica a pressoflessione calotta e ritte (SLU) nei confronti del fuoco

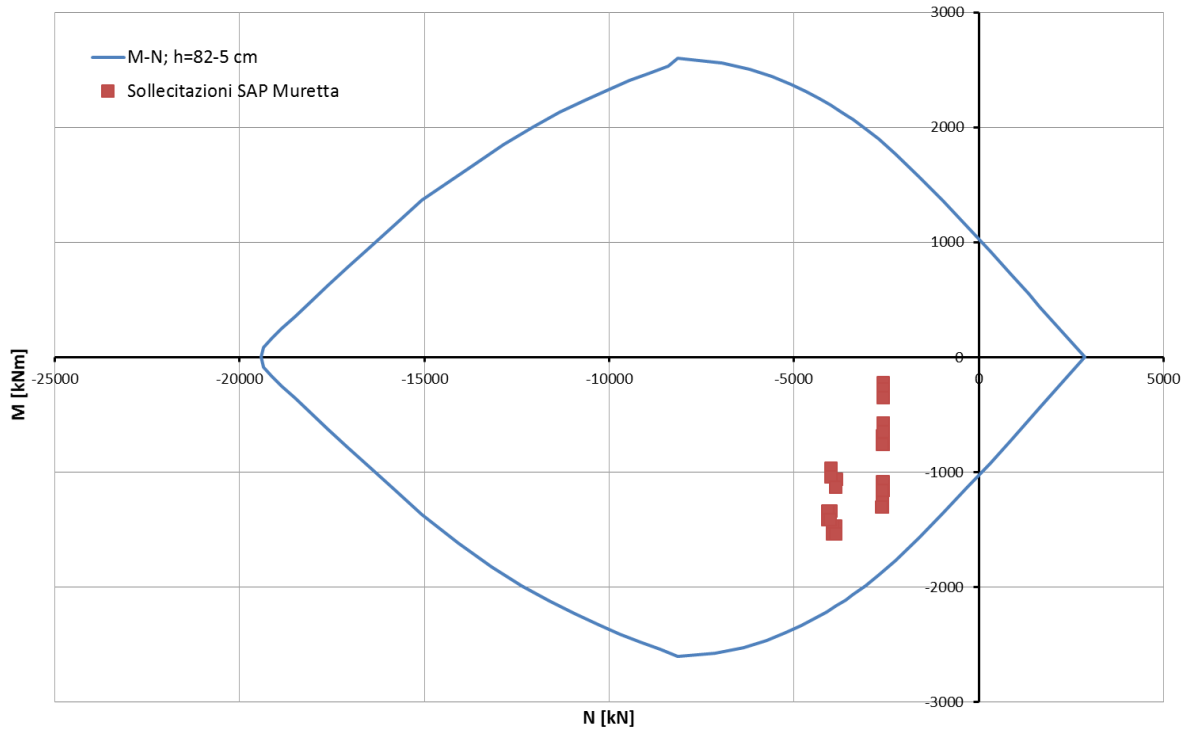


Abbildung 19: Überprüfung auf Beulspannung des Tunnelbogenaufsatzes (GZT) bzgl. Brand

Illustrazione 19: Verifica a pressoflessione muretta (SLU) nei confronti del fuoco

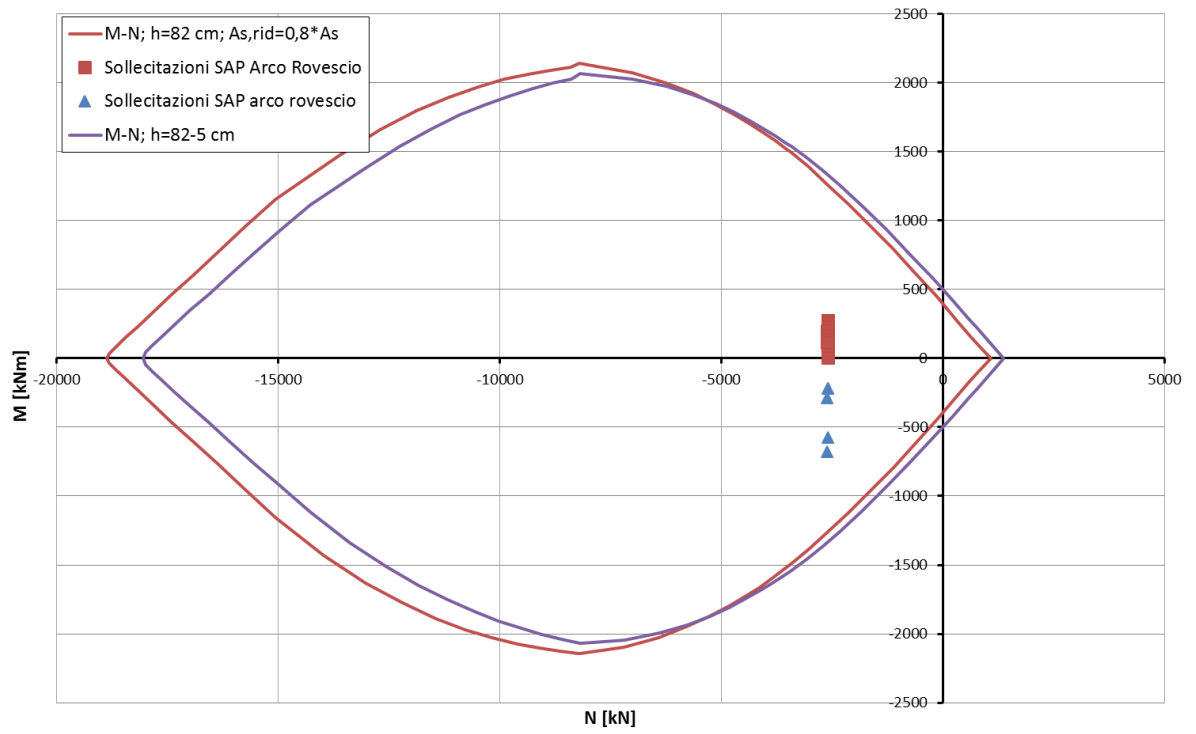


Abbildung 20: Überprüfung auf Beulspannung des Gegengewölbes (GZT) bzgl. Brand

Illustrazione 20: Verifica a pressoflessione arco rovescio (SLU) nei confronti del fuoco